

En la elevación Cerro El Cerrón hacia el sudoeste del sector se verifica la silicificación (cuarzo) y argilización (sericita). Las pequeñas colinas formadas por rocas silicificadas del Grupo Padre Miguel es similar a la colina observadas en la ocurrencia Guasucarán del sector Guasucarán.

2-7-3 Mineralizaciones

De acuerdo a la información disponible, no existen ocurrencias en el sector. Sin embargo, debido a la existencia de información citando la presencia de rocas ígneas, habría la posibilidad de hallar mineralizaciones asociadas a éstas. Sin embargo, durante el estudio de campo no se pudo constatar la presencia de rocas ígneas.

Se esperaba encontrar mineralizaciones en oro y plata asociadas a la silicificación del Cerro El Cerrón, sin embargo, en los resultados de prospección geoquímica de las rocas en la circunscripción solamente se obtuvieron valores menores de 5ppb en oro y 0.2ppm en plata.

2-7-4 Resultados de Prospección Geoquímica

【Rocas】 (Figuras II-41, 42)

En la Figura II-41 se muestra las distribuciones de anomalías. En la figura aparece el agrupamiento de las anomalías geoquímicas. En el Cuadro II-5 se muestra las condiciones en que aparecen las anomalías en estas zonas anómalas. Además, en el cuadro se muestra los valores máximos de los parámetros de análisis (Figura II-42) de los principales elementos (los detalles se citan más adelante) en las zonas anómalas.

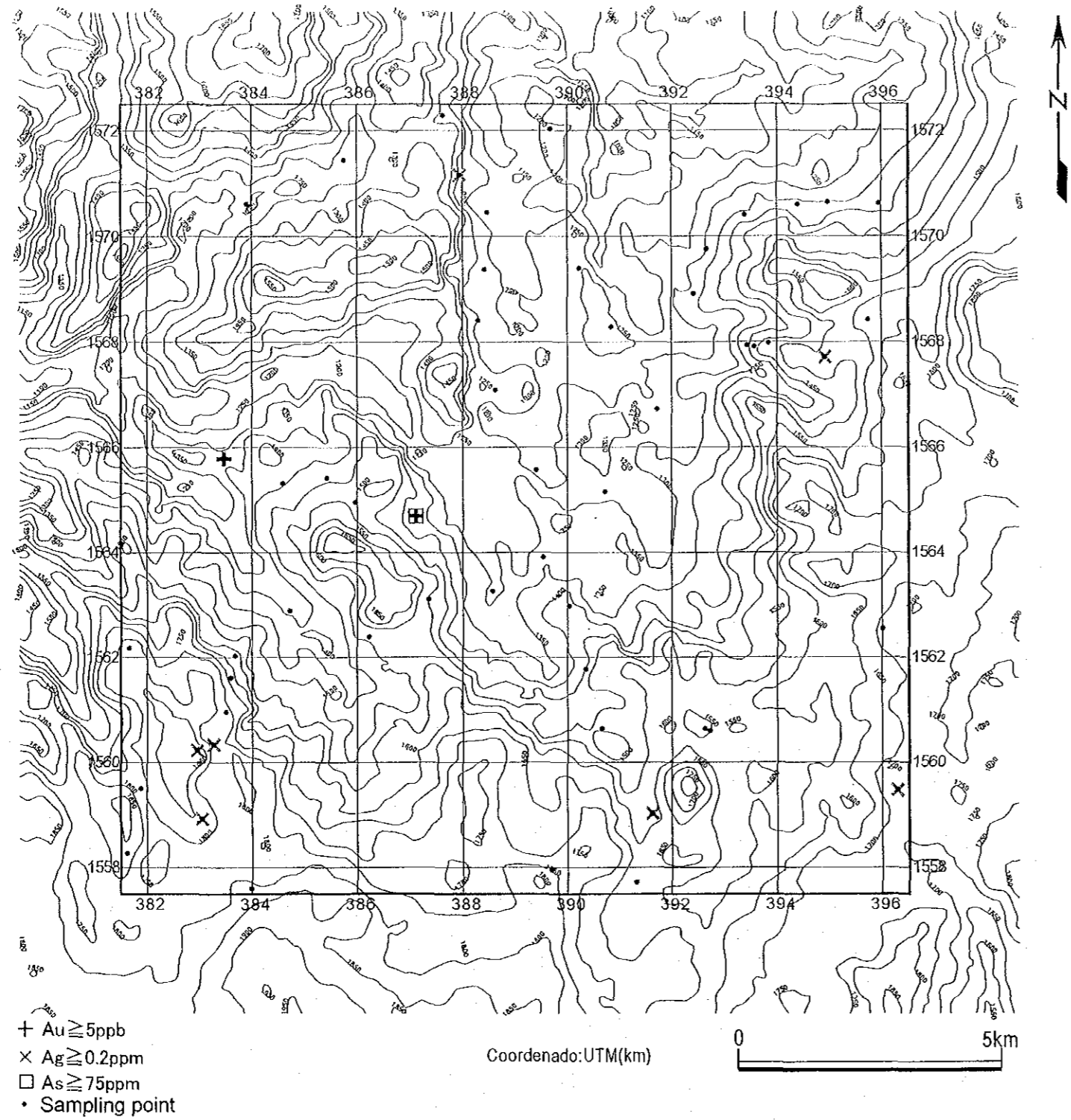
【Alveos】 (Figuras II-43, 44)

En la Figura II-43 se muestra las distribuciones de anomalías y en la Figura II-44 los valores de los parámetros de análisis de los principales elementos (los detalles se citan más adelante) en las zonas anómalas. En el Cuadro II-6 se muestra las zonas con posible mineralización de oro sobre la base de las anomalías de álveos.

2-8 Sector Guasucarán

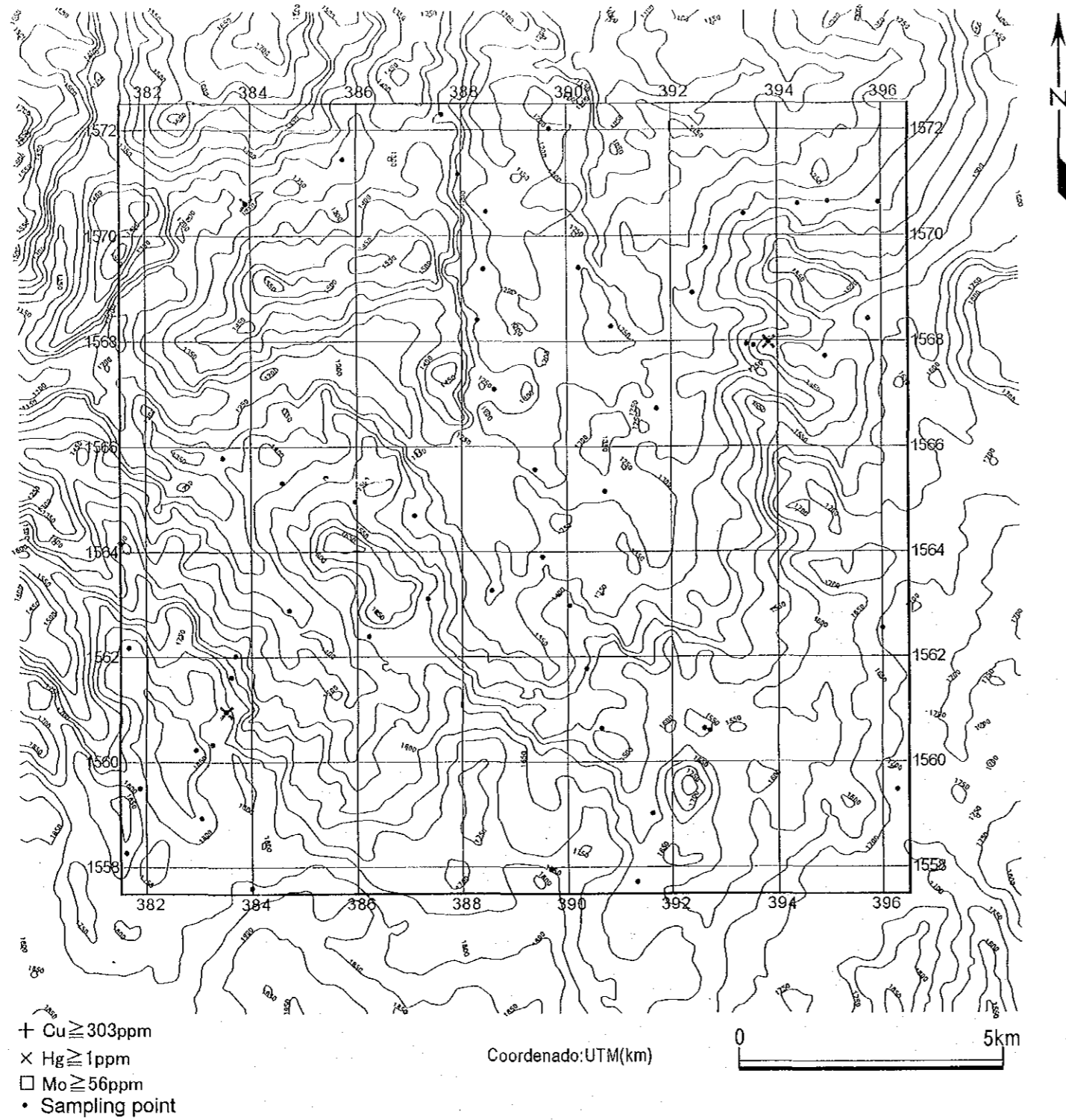
2-8-1 Geología (Figuras II-45, 46)

El sector Guasucaran se ubica aproximadamente 40km hacia el sudoeste de Tegucigalpa. Los estudios semi-detallados del presente año abarcaron 64km² de 335km² que fueron materia de estudios generales del Fase I. Los estratos que se distribuyen son: Formación Matagalpa y Grupo Padre Miguel del terciario y aluviales. Se trata de una estructura a la cual el Grupo Padre Miguel yace sobre el ondulante Formación Matagalpa en toda su extensión.



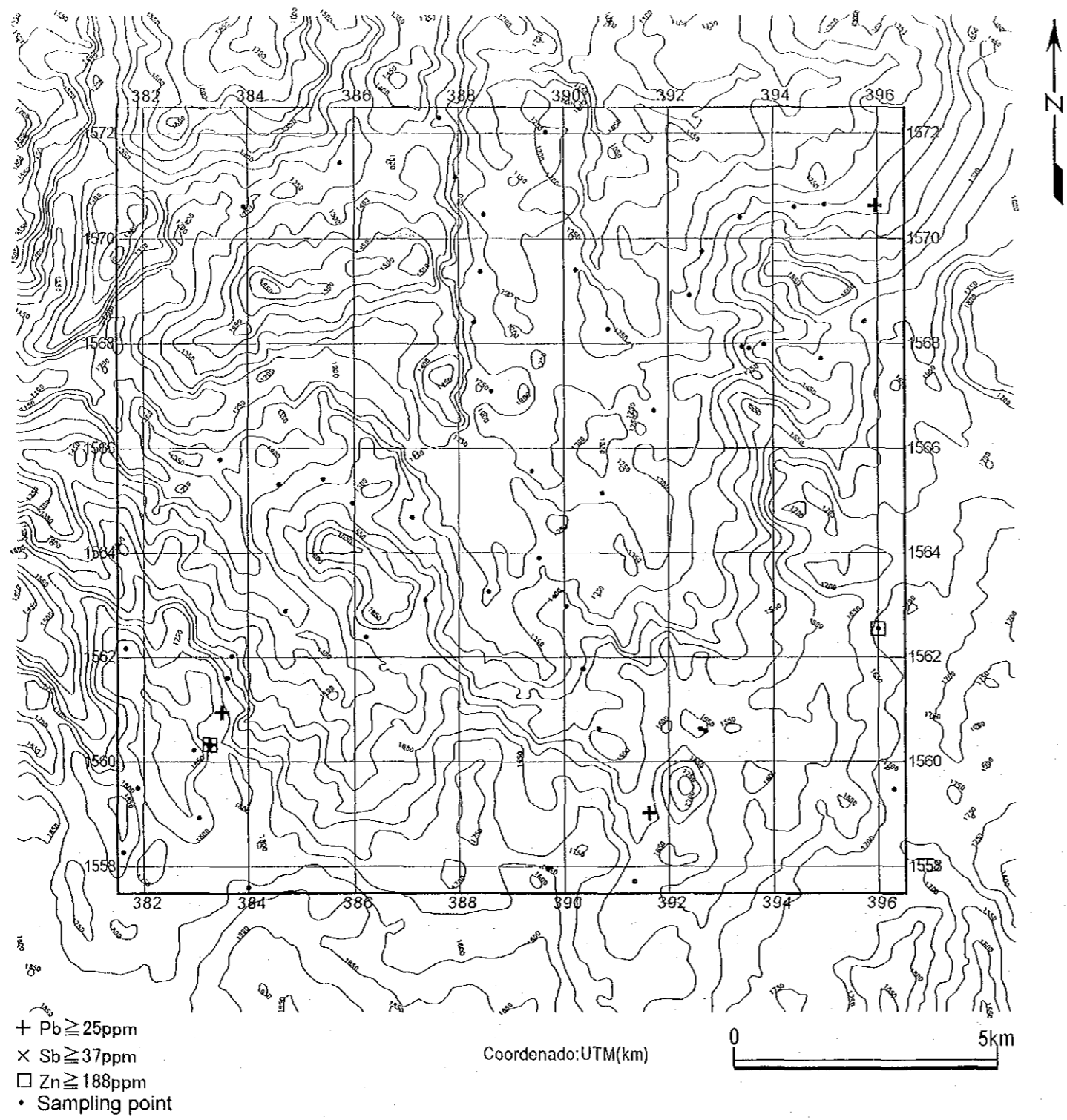
第II-41-1图 Marcala地区岩石地化探异常值分布图(Au, Ag, As)

Figura II-41-1 Distribución de Anomalías Geoquímicas en Rocas del Sector Malcara(Au, Ag, As)



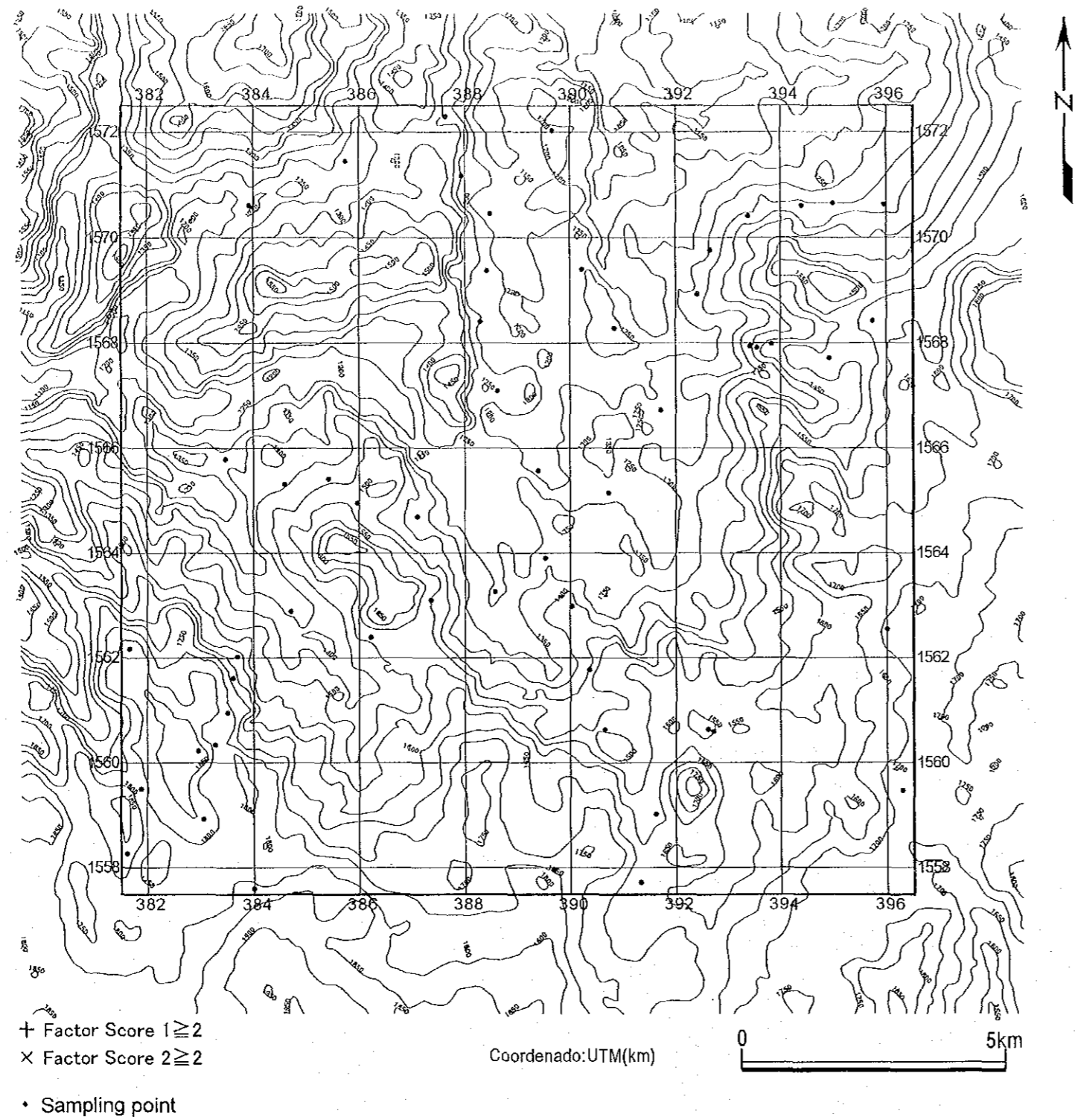
第II-41-2图 Marcala地区岩石地化探异常值分布图(Cu, Hg, Mo)

Figura II-41-2 Distribución de Anomalías Geoquímicas en Rocas del Sector Malcara (Cu, Hg, Mo)



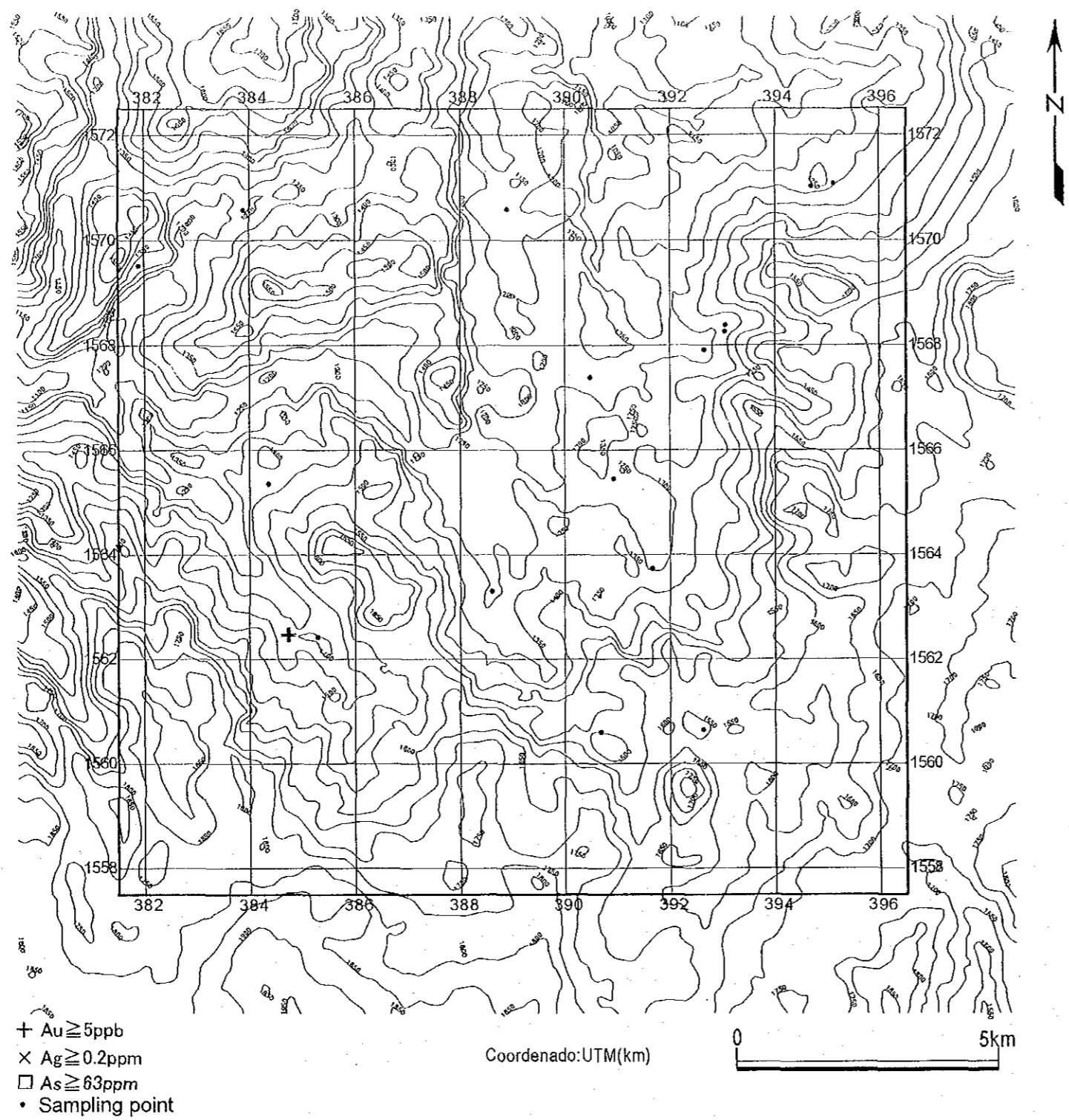
第II-41-3图 Marcala地区岩石地化探异常值分布图(Pb, Sb, Zn)

Figura II-41-3 Distribución de Anomalías Geoquímicas en Rocas del Sector Marcala (Pb, Sb, Zn)



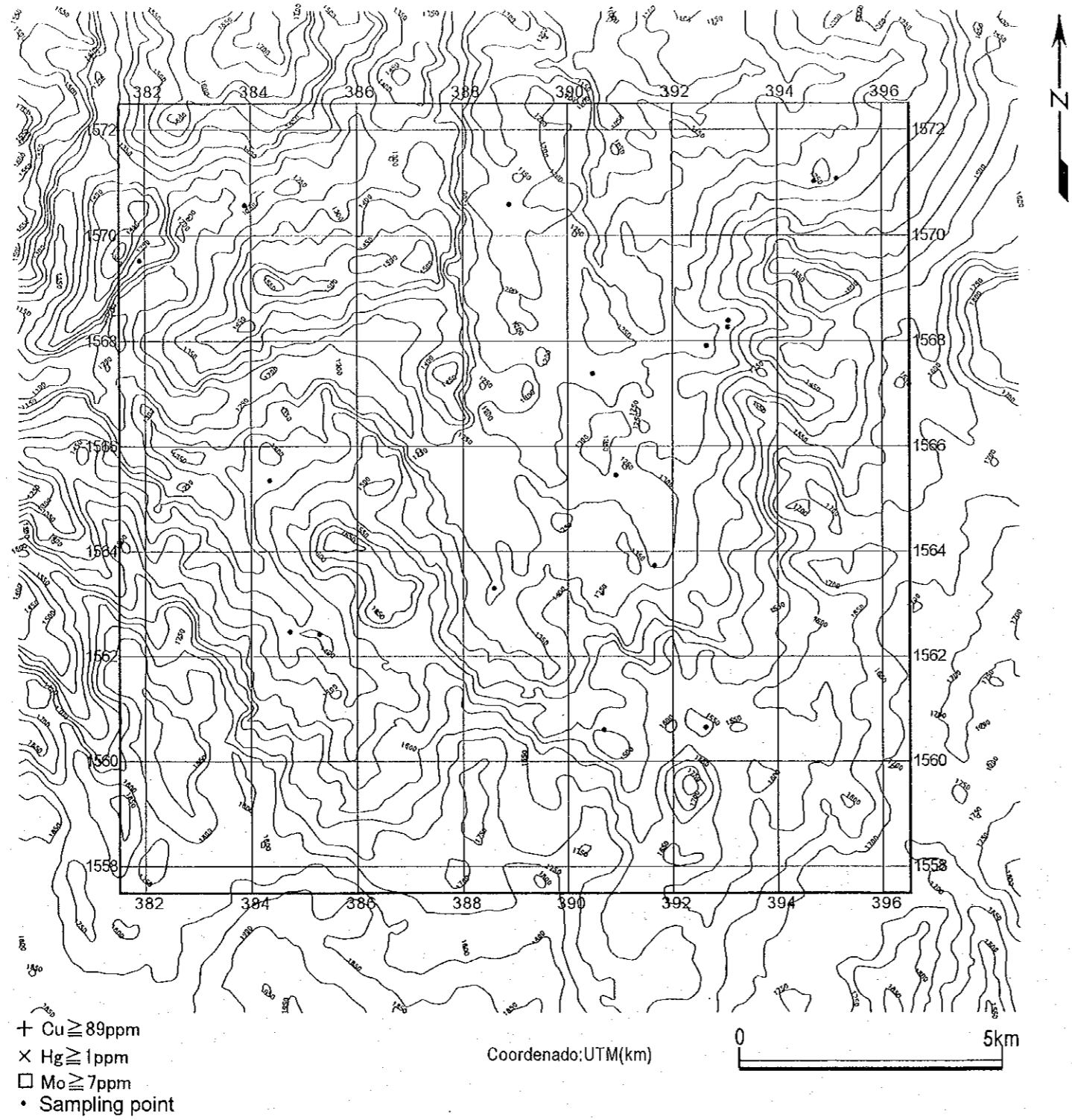
第II-42图 Marcala地区岩石地化探因子得点分布图

Figura II-42 Distribución del Factores de Puntuaciones de Rocas del Sector Malcara



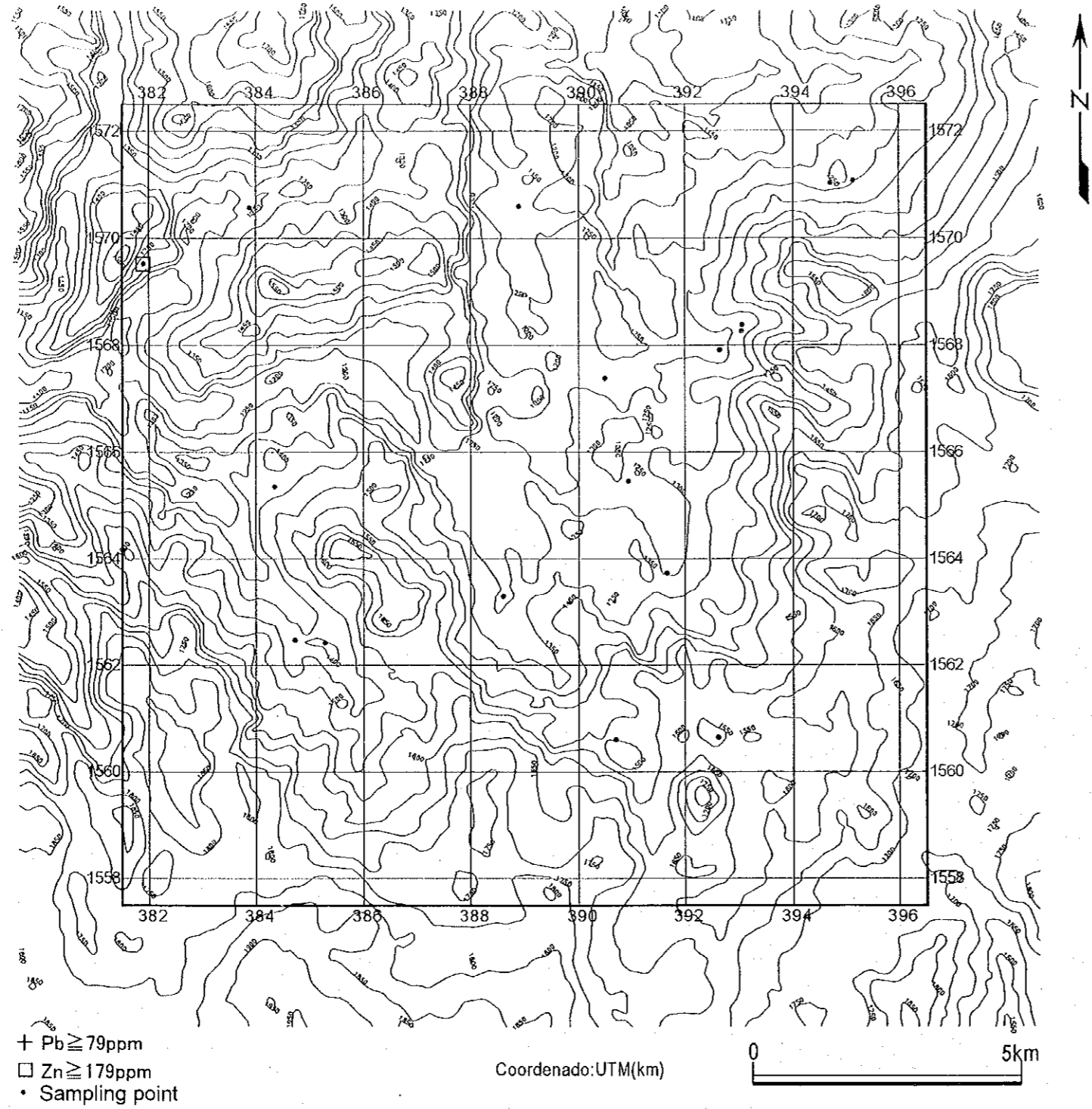
第II-43-1図 Marcala地区川砂地化探異常値分布図(Au, Ag, As)

Figura II-43-1 Distribución de Anomalías Geoquímicas en Alveos del Sector Malcara(Au, Ag, As)



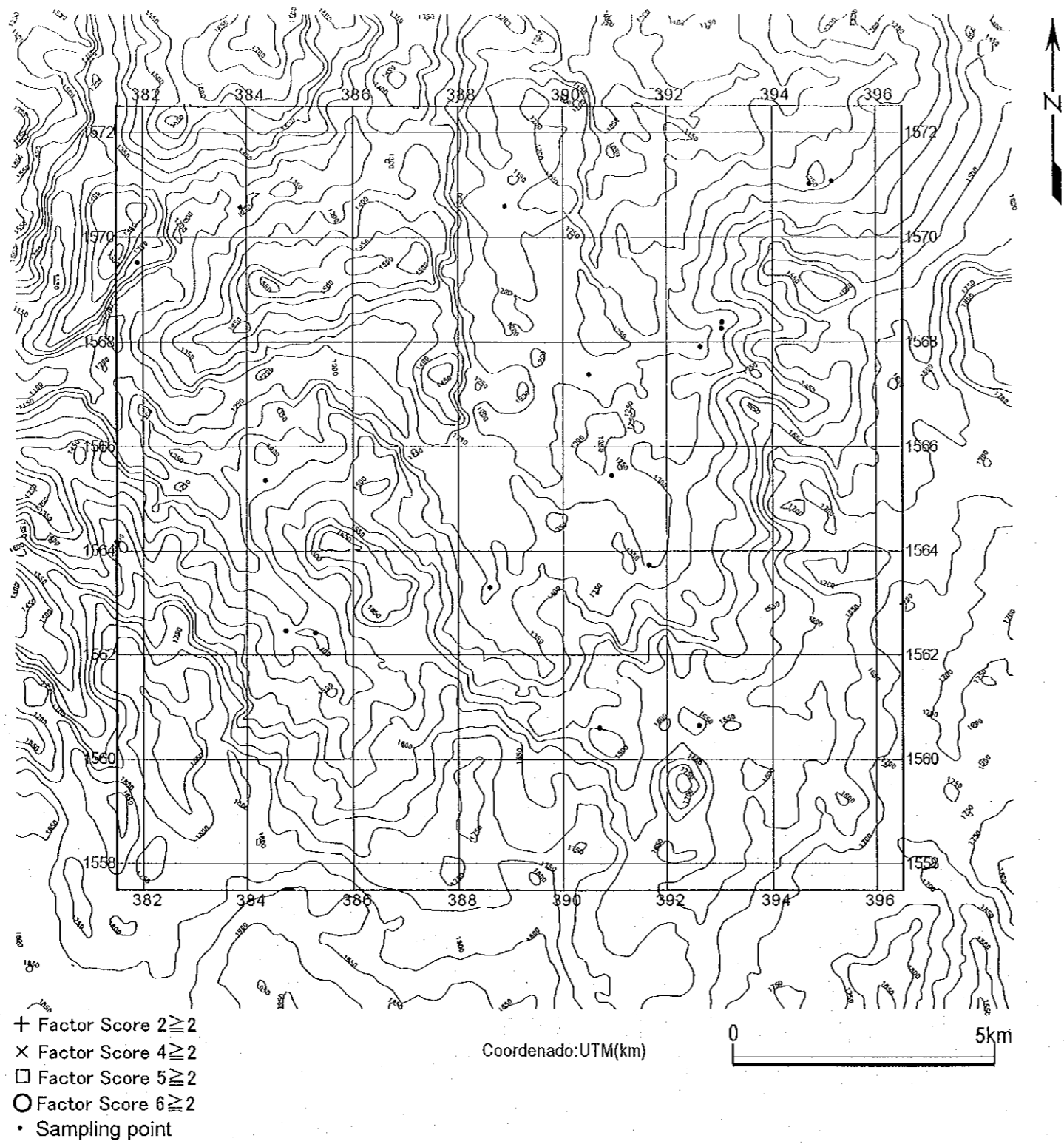
第Ⅱ-43-2图 Marcala地区川砂地化探异常值分布图(Cu, Hg, Mo)

Figura II-43-2 Distribución de Anomalías Geoquímicas en Alveos del Sector Malcara(Cu, Hg, Mo)



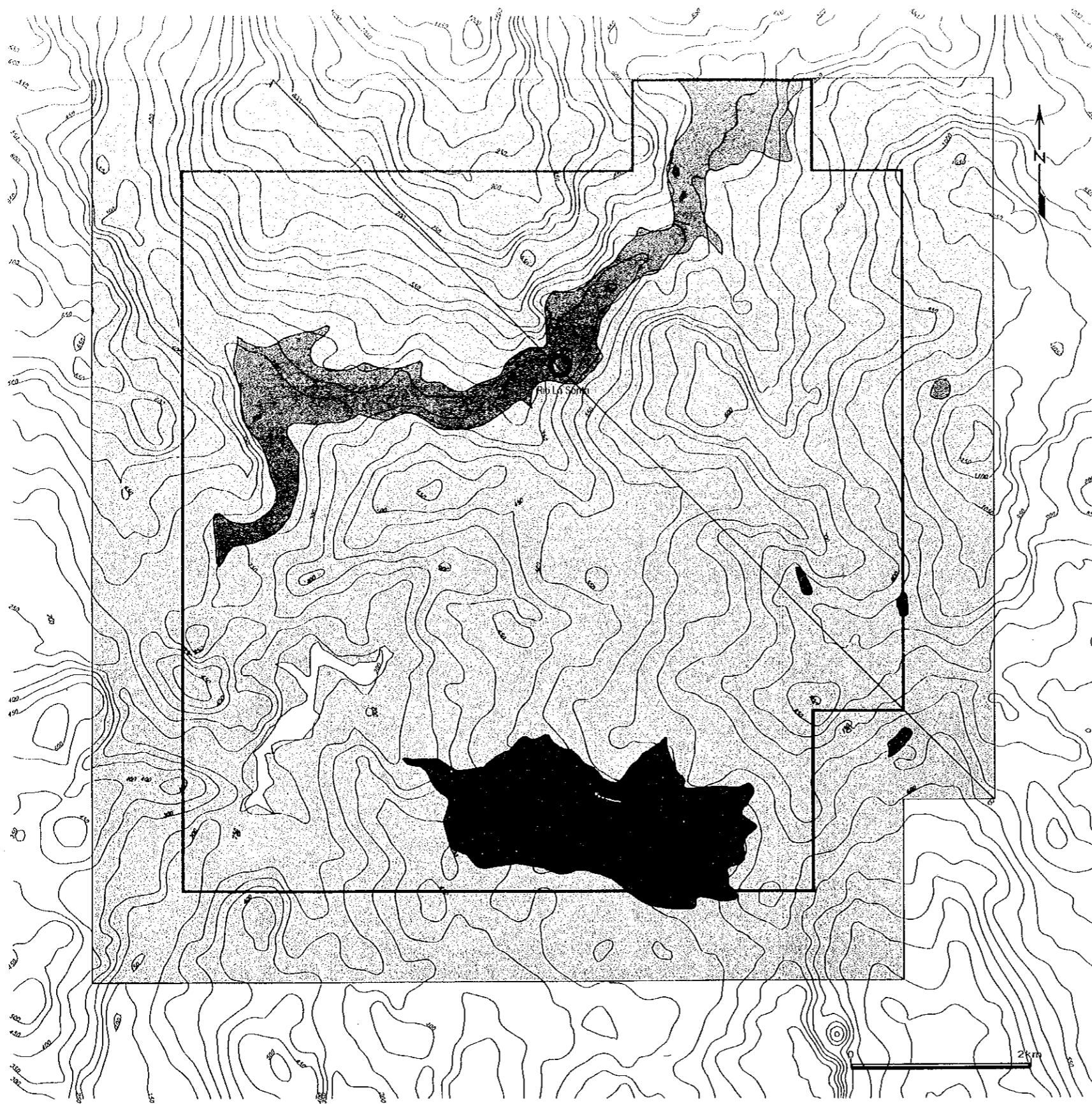
第II-43-3图 Marcala地区川砂地化探异常值分布图(Pb, Zn)

Figura II-43-3 Distribución de Anomalías Geoquímicas en Alveos del Sector Marcala (Pb, Zn)



第II-44图 Marcala地区川砂地化探因子得点分布图

Figura II-44 Distribución del Factores de Puntuaciones de Alveos del Sector Marcala

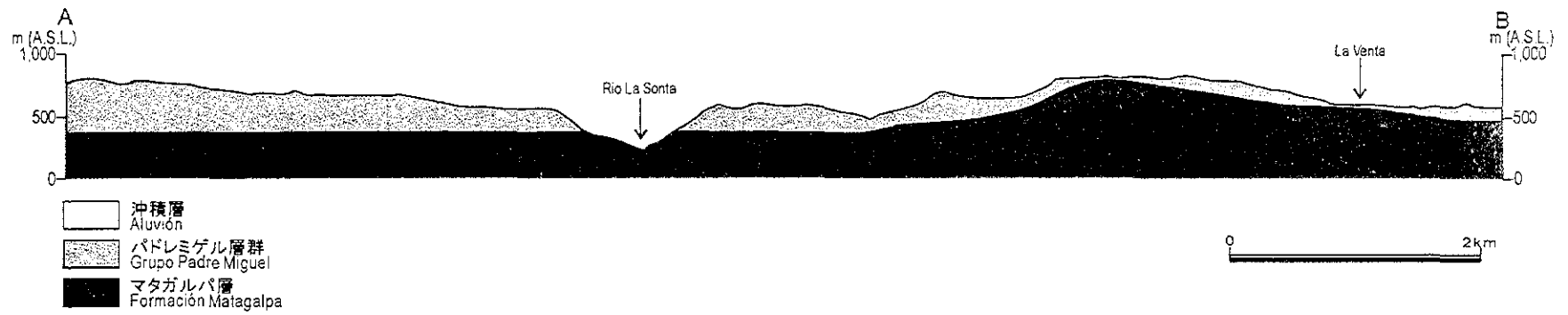


- 沖積層
Aluvión
- ▨ バドレミゲル層群
Grupo Padre Miguel
- マタガルパ層
Formación Matagalpa

○ 鉱徴地 Yacimiento (Polimetálico)

第 II-45 図 Guasucarán 地区地質図及び鉱徴地位置図

Figura II-45 Plano Geológico y Ocurrencias Mineras del Sector Guasucarán



第 II-46 図 Guasucarán地区地質断面図

Figura II-46 Sección Transversal del Sector Guasucarán

【Formación Matagalpa】

Se distribuye en las márgenes del Río La Sonta y hacia el sur del sector. Se verificaron, 4 lugares con presencia de pequeños afloramientos en la circunscripción de su extremo oriental. La litofacie presenta principalmente andesitas grises con rocas piroclásticas símiles y basaltos negros con rocas piroclásticas símiles.

【Grupo Padre Miguel】

Se distribuye ampliamente en toda la extensión del sector. La litofacie presenta principalmente dacitas, riolitas y rocas piroclásticas ácidas. La medición de edad se realizó mediante el método de K-Ar, obteniéndose 15.5 ± 0.4 Ma (mioceno).

2-8-2 Alteraciones

En la ocurrencia Río La Sonta se verifica notorias silicificación (cuarzo, ligeramente cristobalita) y argilización (sericita, ligeramente smectita) en un intervalo de aproximadamente 500m.

Aproximadamente a 2km oest de la ocurrencia Río La Sonta se verifica el desarrollo de silicificación (cuarzo), argilización (sericita, smectita) y alteración de feldespato de potasio.

Hacia la circunscripción del extremo oriental del sector se verifica una marcada argilización (smectita) de coloración verdosa (azulada) del Formación Matagalpa.

2-8-3 Mineralizaciones

Las mineralizaciones se verifican en 2 lugares: en la ocurrencia Río La Sonta y aproximadamente a 2km aguas debajo hacia el oeste de ésta.

La ocurrencia Río La Sonta, de acuerdo a la información existente, es un yacimiento diseminado de oro/plata?, y de cobre pórfido; sin embargo, la diseminación del oro en su afloramiento es muy escasa. Los minerales son principalmente piritas asociadas de calcopirita, calcosita, covelina, esfalerita y goethita. Las máximas leyes verificadas con los análisis químicos fueron oro 105ppb, plata 8ppm, cobre 474ppm, plomo 546ppm y zinc 230ppm (ver Cuadro II-4). Los resultados de medición de inclusiones fluidas resultaron: temperatura de homogenización promedia de 330°C y concentración de sales promedio de 4.0% en peso.

En la mineralización aproximadamente a 2km hacia el oeste de la ocurrencia Río La Sonta, se verifica afloramientos símiles a las encontradas en ésta. Los minerales están compuestos por cantidades regulares de pirita y trazas de hematita y magnetita. Las máximas leyes verificadas con los análisis químicos fueron oro 35ppb, plata 2ppm, cobre 31ppm, plomo 486ppm y zinc 326ppm.

2-8-4 Resultados de Prospección Geoquímica

【Rocas】 (Figuras II-47, 48)

En la Figura II-47 se muestra las distribuciones de anomalías. En la figura aparece el agrupamiento de las anomalías geoquímicas. En el Cuadro II-5 se muestra las condiciones en que aparecen las anomalías en estas zonas anómalas, asimismo, las condiciones en que aparecen las anomalías sobre las ocurrencias que se registran en la información existente. Además, en el cuadro se muestra los valores máximos de los parámetros de análisis (Figura II-48) de los principales elementos (los detalles se citan más adelante) en las zonas anómalas.

【Alveos】 (Figuras II-49, 50)

En la Figura II-49 se muestra las distribuciones de anomalías. En la zona de anomalías geoquímicas de rocas aparecen también las anomalías geoquímicas de álveos. En el Cuadro II-5 se muestra las condiciones en que aparecen las anomalías geoquímicas de álveos sobre la zona de anomalías geoquímicas de rocas, y se muestra los valores máximos de los parámetros de análisis (Figura II-50) de los principales elementos (los detalles se citan más adelante) en las zonas anómalas. Aparte de estas anomalías geoquímicas de rocas, se estiman 3 lugares con anomalías en oro basado en las anomalías geoquímicas de álveos. En el Cuadro II-6 se muestra estas demarcaciones estimadas.

2-9 Sector Higuero Morado

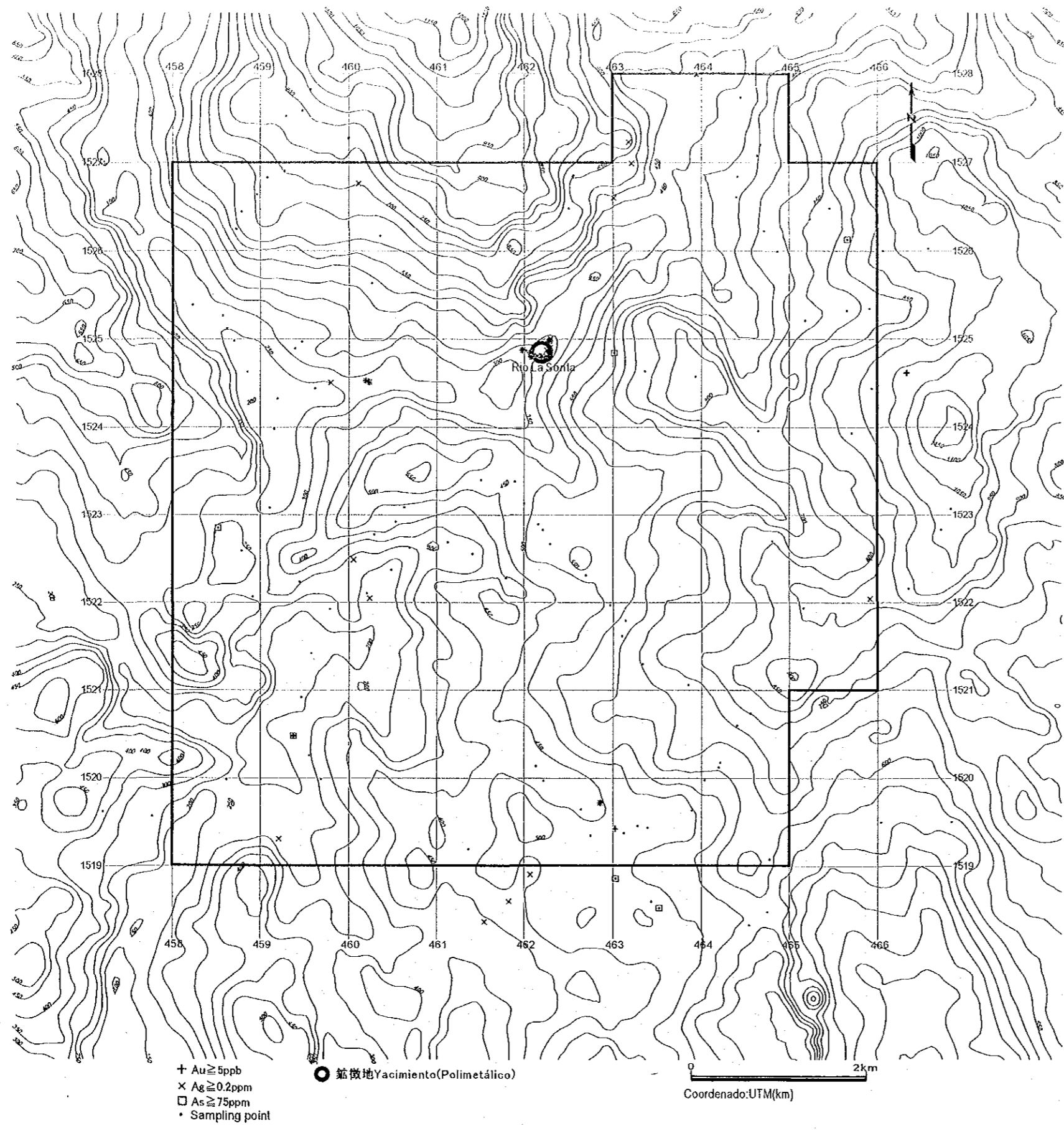
2-9-1 Geología (Figuras II-51, 52)

El sector se ubica aproximadamente 40km hacia el noreste de Tegucigalpa. Los estudios semi-detallados del presente año abarcaron 64km² de 400km² que fueron materia de estudios generales del Fase I. Los estratos que se distribuyen son: Grupo Honduras y las Formaciones Yojoa y Valle de Angeles del mesozoico, Grupo Padre Miguel del terciario, intrusivos ácidos y neutros. La estructura geológica presenta fallas en las rumbo NO/SE y N/S, distribuyéndose la Formación Yojoa hacia el bloque oeste/noroeste y la Formación Valle de Angeles hacia el bloque sur del sector. El Grupo Padre Miguel yace discordante sobre el mesozoico distribuyéndose hacia el oeste/norte del sector.

【Grupo Honduras】

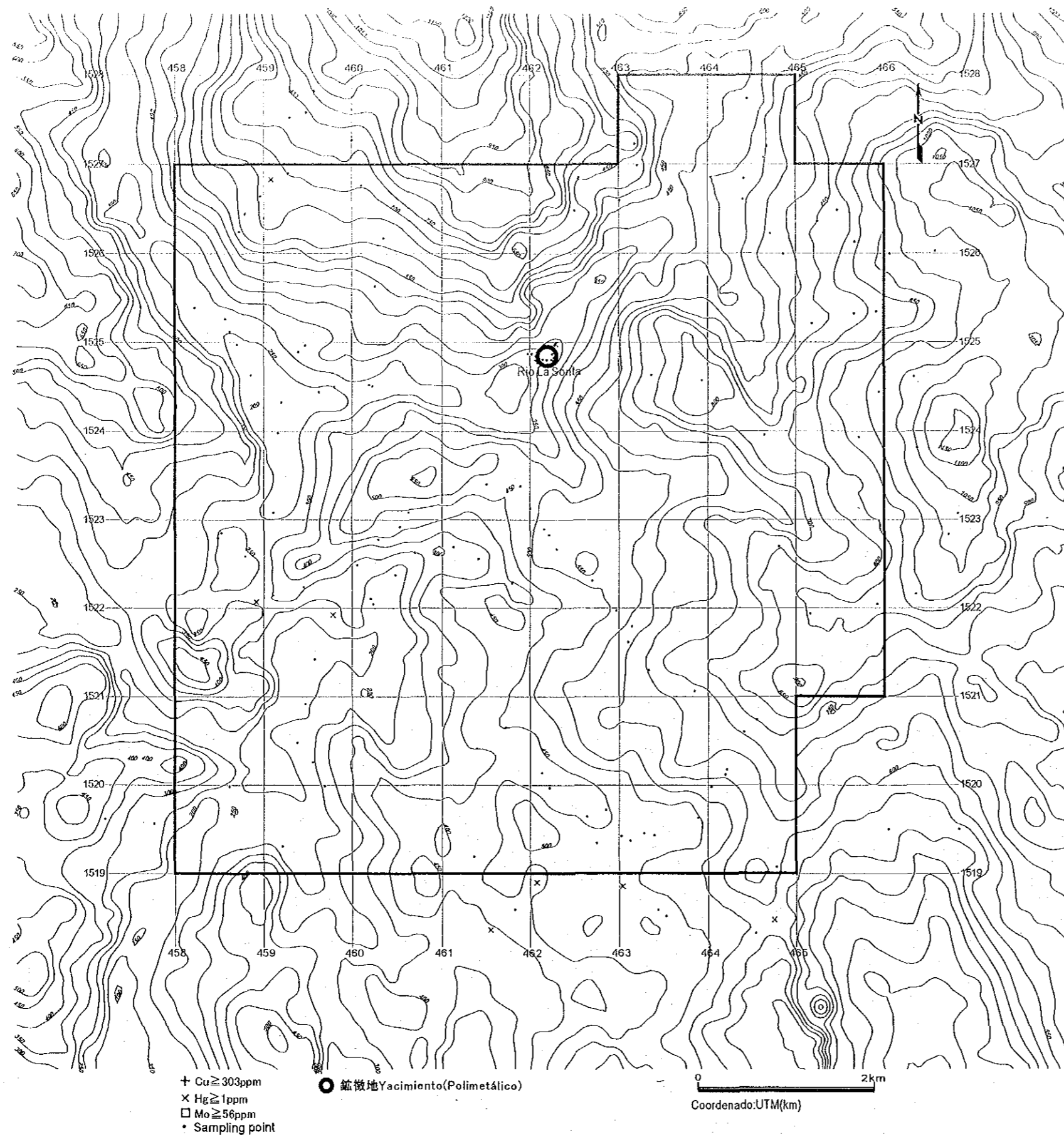
Se distribuye ampliamente hacia el centro/este del sector. Corresponde entre el jurásico y cretácico inferior. La litofacie presenta areniscas, fangolitas entre grises y negras y estratos alternados de éstas.

【Formación Yojoa】



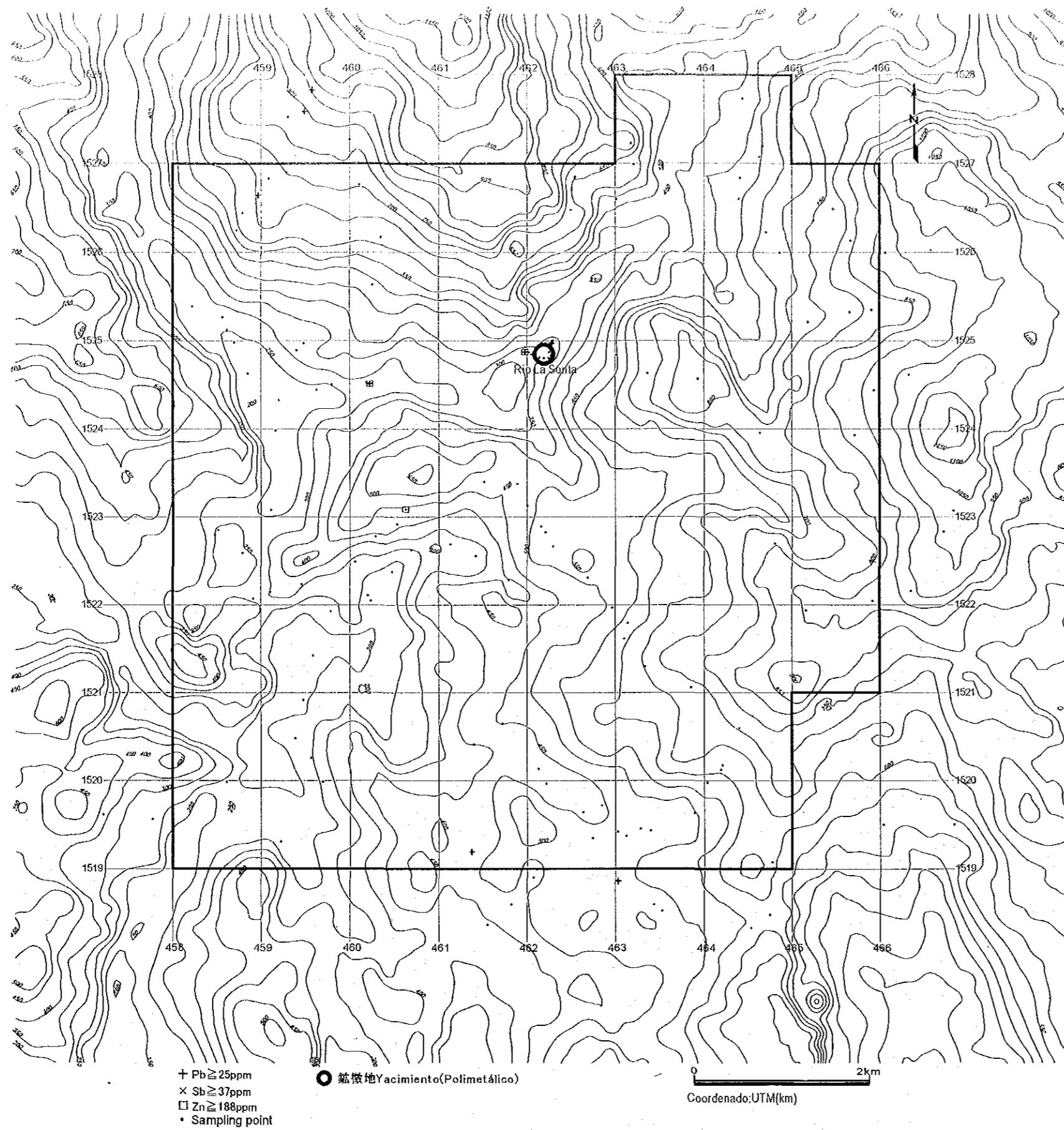
第 II-47-1 图 Guasucarán地区岩石地化探异常值分布图 (Au, Ag, As)

Figura II-47-1 Distribución de Anomalías Geoquímicas en Rocas del Sector Guasucarán (Au, Ag, As)



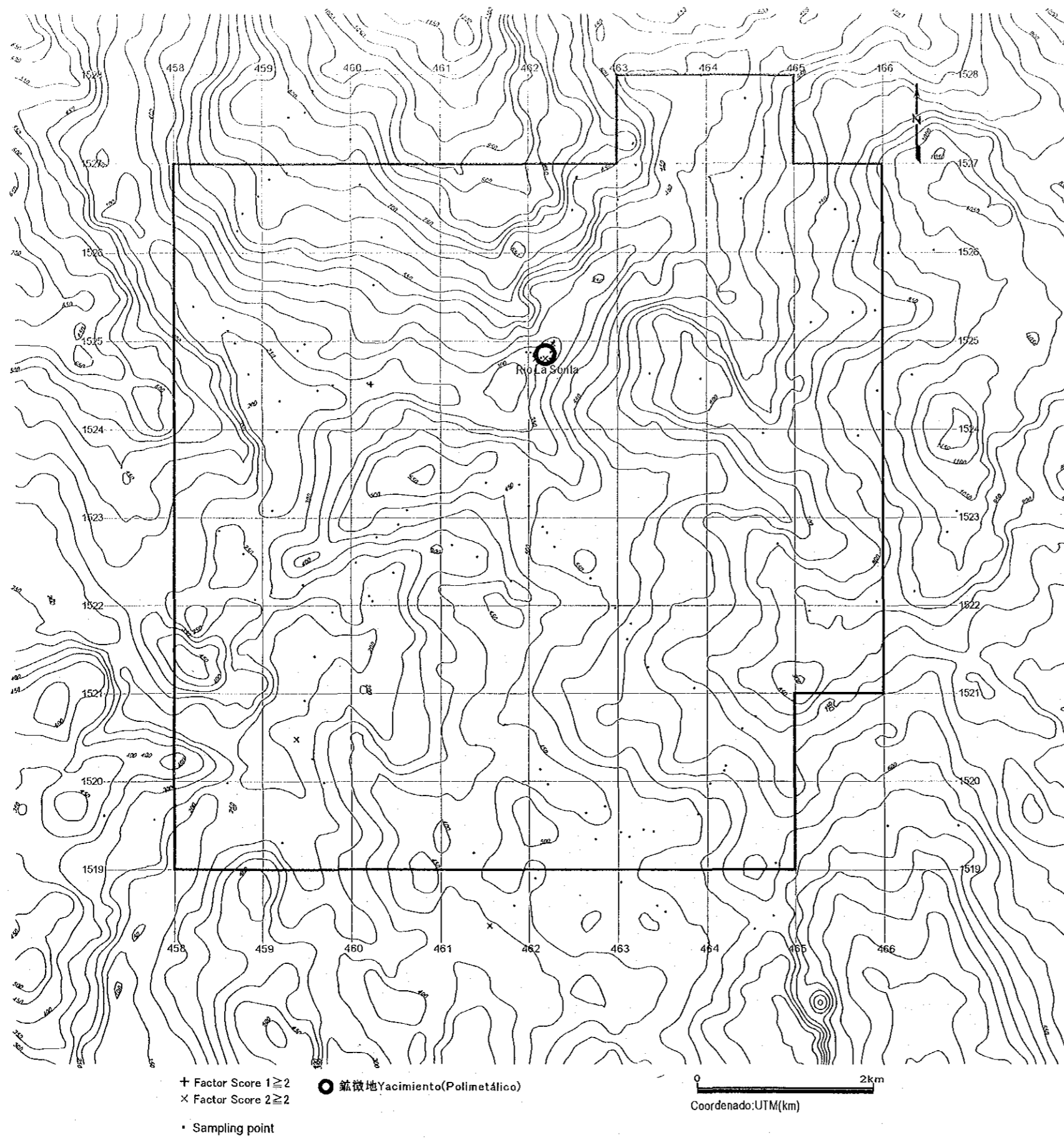
第 II-47-2 图 Guasucarán 地区岩石地化探异常值分布图 (Cu, Hg, Mo)

Figura II-47-2 Distribución de Anomalías Geoquímicas en Rocas del Sector Guasucarán (Cu, Hg, Mo)



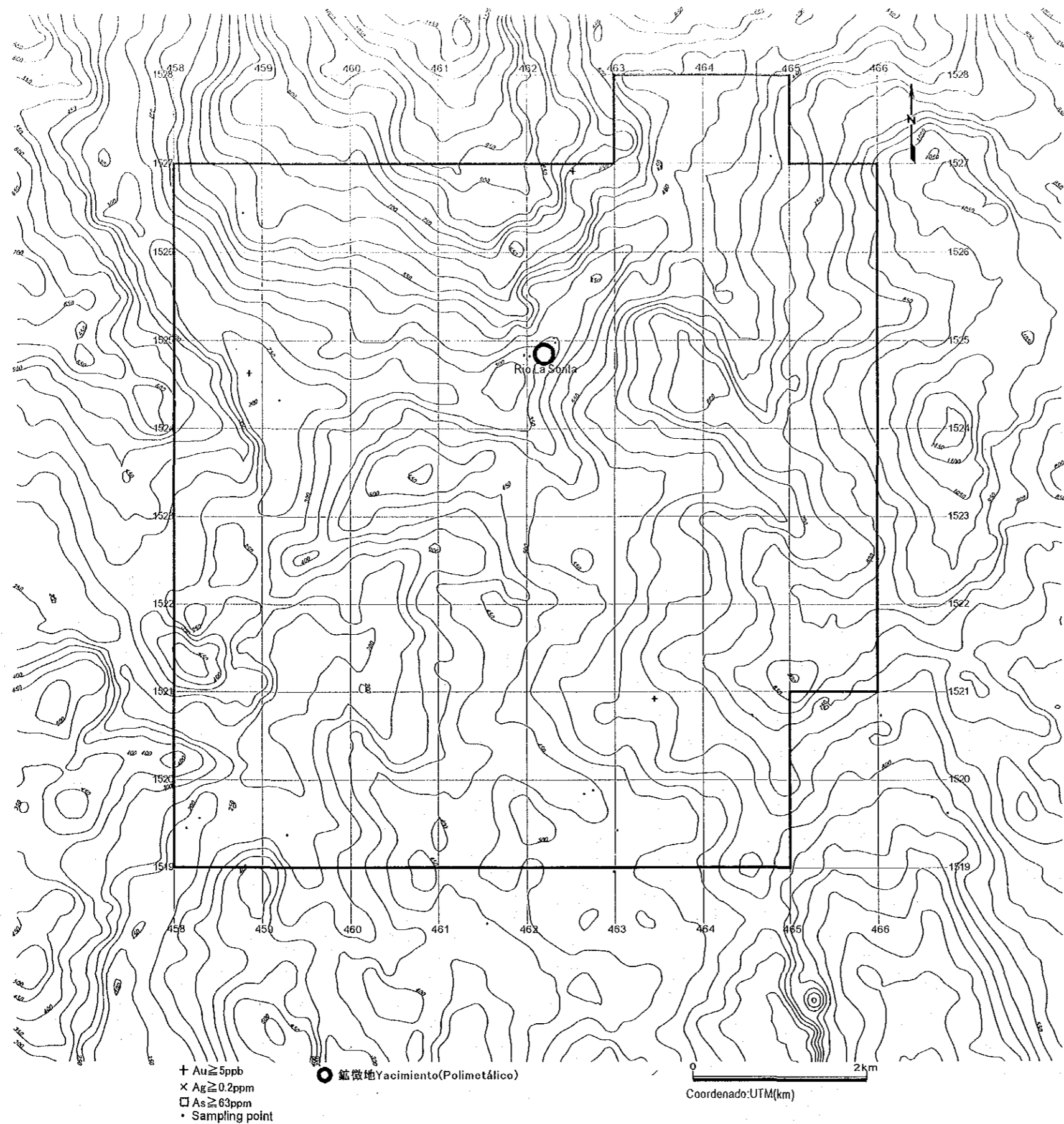
第II-47-3圖 Guasucarán地区岩石地化探異常值分布圖(Pb, Sb, Zn)

Figura II-47-3 Distribución de Anomalías Geoquímicas en Rocas del Sector Guasucarán(Pb, Sb, Zn)



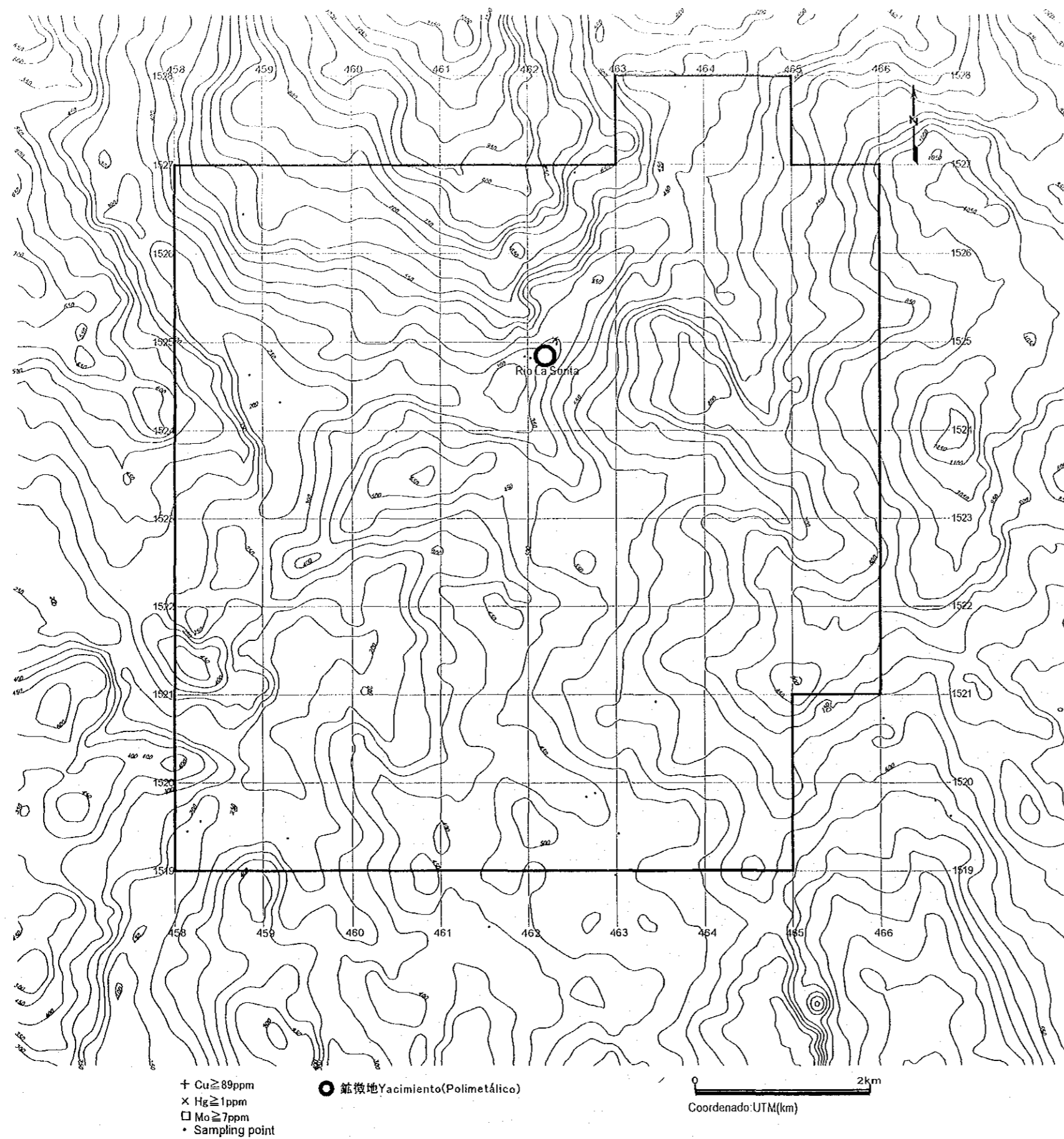
第II-48图 Guasucarán地区岩石地化探因子得点分布图

Figura II-48 Distribución del Factores de Puntuaciones de Rocas del Sector Guasucarán



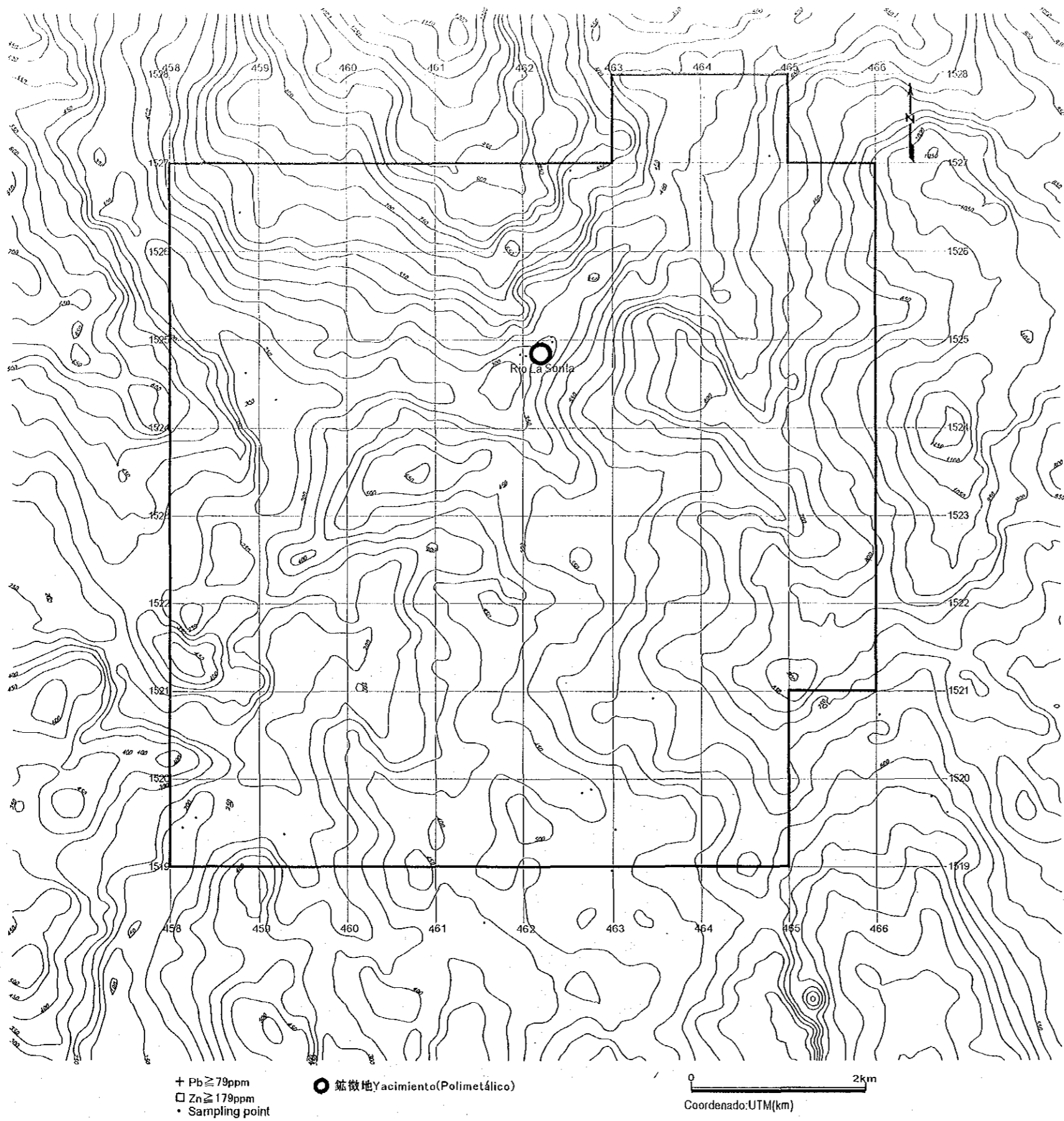
第II-49-1図 Guasucarán地区川砂地化探異常値分布図(Au, Ag, As)

Figura II-49-1 Distribución de Anomalías Geoquímicas en Alveos del Sector Guasucarán(Au, Ag, As)



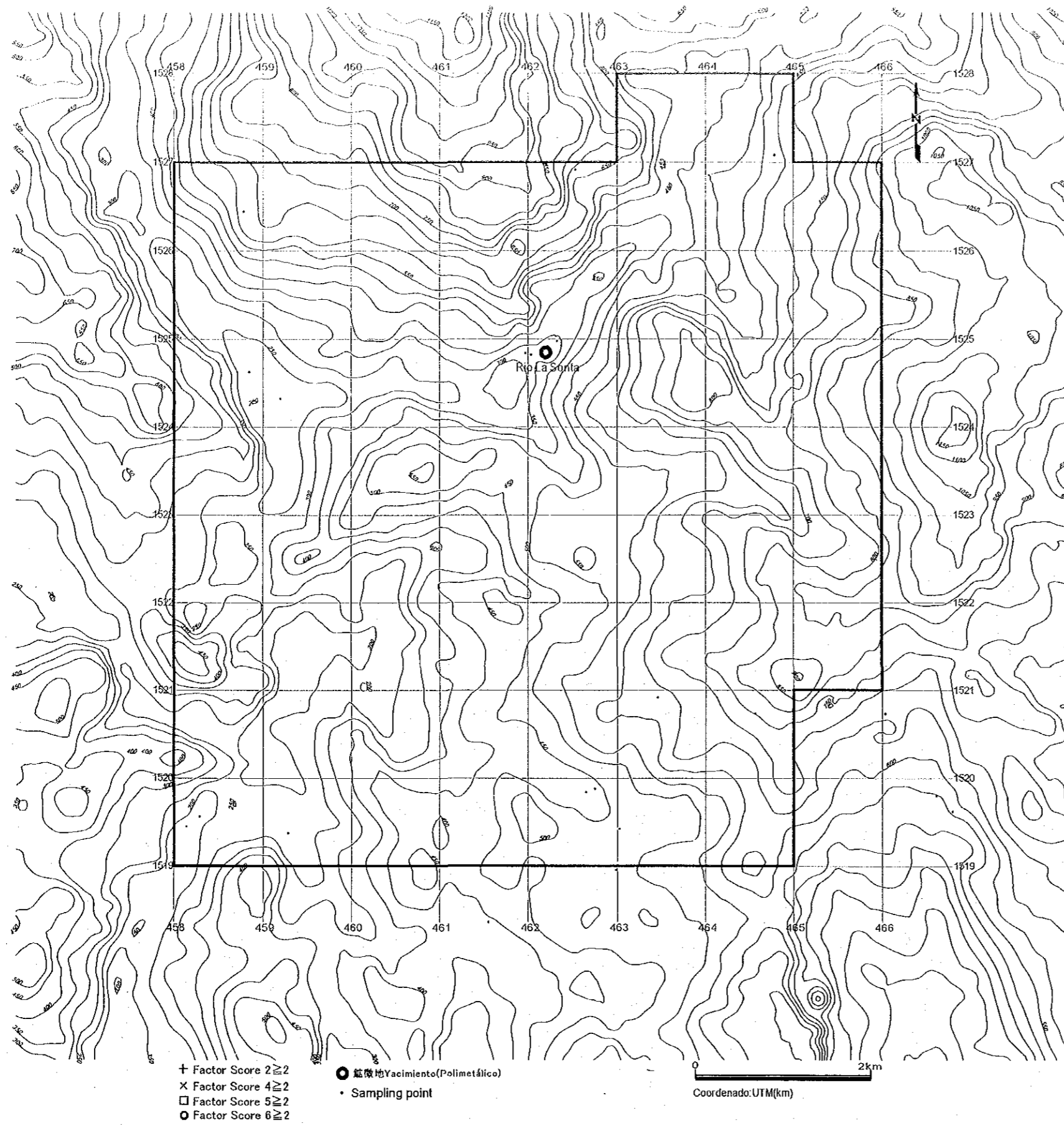
第 II-49-2 图 Guasucarán地区川砂地化探异常值分布图(Cu, Hg, Mo)

Figura II-49-2 Distribución de Anomalías Geoquímicas en Alveos del Sector Guasucarán(Cu, Hg, Mo)



第 II-49-3 図 Guasucarán地区川砂地化探異常値分布図 (Pb, Zn)

Figura II-49-3 Distribución de Anomalías Geoquímicas en Alveos del Sector Guasucarán (Pb, Zn)



第II-50图 Guasucarán地区川砂地化探因子得点分布图

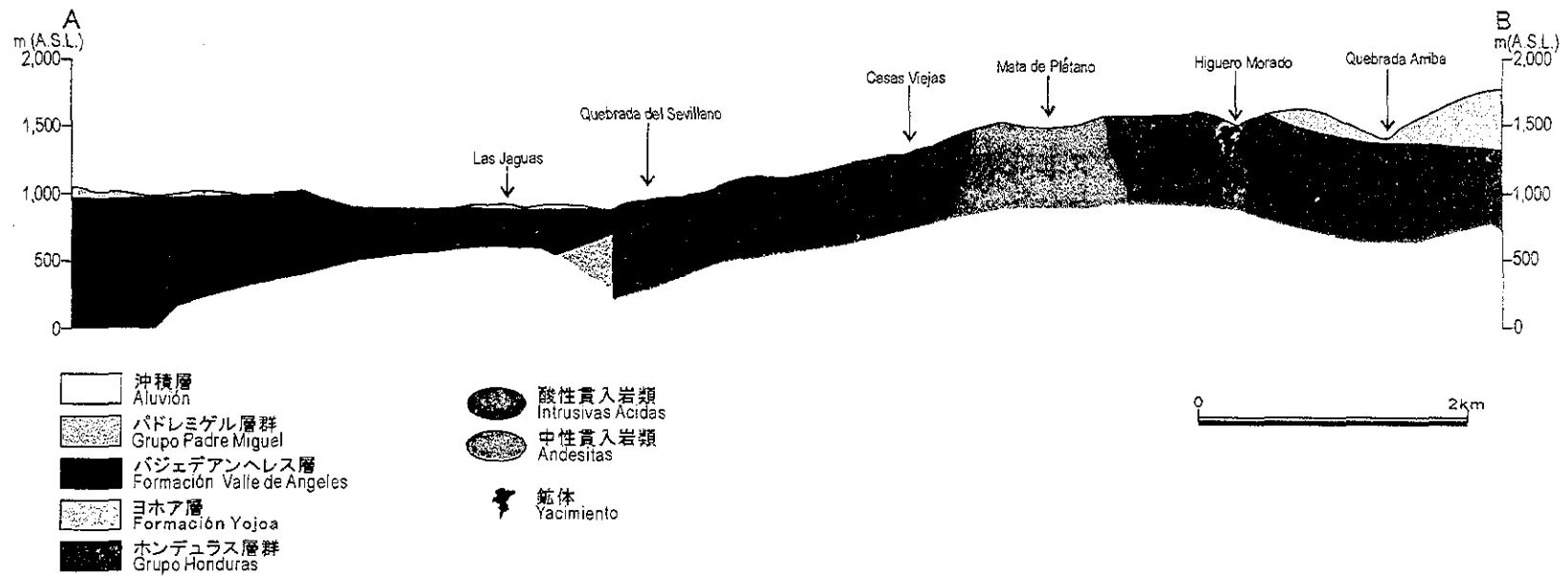
Figura II-50 Distribución del Factores de Puntuaciones de Alveos del Sector Guasucarán



- | | |
|--|---|
|  沖積層
Aluvion |  酸性貫入岩類
Intrusivas Acidas |
|  バドレミゲル層群
Grupo Padre Miguel |  中性貫入岩類
Andesitas |
|  バジェデアンヘレス層
Formación Valle de Angeles |  鉱徴地Yacimiento(Polimetálico) |
|  ヨホア層群
Formación Yojoa | |
|  ホンデュラス層群
Grupo Honduras | |

第II-51図 Higuero Morado地区地質図及び鉱徴地位置図

Figura II-51 Plano Geológico y Ocurrencias Mineras del Sector Higuero Morado



第II-52図 Higuero Morado地区地質断面図
 Figura II-52 Sección Transversal del Sector Higuero Morado

Se distribuye hacia el oeste/noroeste del sector. Corresponde al cretácico inferior. La litofacie presenta calizas y se hayan algunos fósiles de coral.

[Formación Valle de Angeles]

Se distribuye hacia el sur del sector. Corresponde al cretácico superior. La litofacie presenta areniscas, fangolitas rojizas y estratos alternados de éstas.

[Grupo Padre Miguel]

Se distribuye hacia el oeste/norte del sector. Corresponde al mioceno del terciario. La litofacie presenta principalmente dacitas con rocas piroclásticas símiles y riolitas con rocas piroclásticas símiles.

[Intrusivos Neutros]

Se distribuye hacia el centro/este del sector. El período de intrusión correspondería entre post-cretácico superior y pre-plioceno del terciario. La litofacie presenta andesitas/diorita. En general presentan alto grado de intemperismo.

[Intrusivos Acidos]

Se distribuye hacia el centro del sector. El período de intrusión corresponde mioceno del terciario. La litofacie presenta dacita/cuarzo porfirítica.

2-9-2 Alteraciones

En la ocurrencia Higuero Morado se verifica la silicificación (cuarzo) y argilización (pirofilita, clorita).

En la ocurrencia Las Jaguas se verifica la silicificación (cuarzo) y argilización (sericita, clorita, ligeramente estratos alternados de clorita/smectita).

En la ocurrencia El Bosque se verifica la silicificación (cuarzo) y argilización (clorita).

Externamente a las ocurrencias se verifica ampliamente la silicificación del Grupo Honduras hacia el este del sector.

2-9-3 Mineralizaciones

Las mineralizaciones se verifican en 3 lugares: en las ocurrencias de Higuero Morado, Las Jaguas y El Bosque.

La ocurrencia Higuero Morado se distribuye como pequeños afloramientos en las márgenes del río hacia el norte del sector. La presencia de escombros próxima a los sulfuros aguas arriba de los afloramientos, sugiere la prolongación del mineralización; sin embargo, no se pudieron constatar. De acuerdo a la información existente, se clasifica como yacimiento de contacto metasomático tipo skarn; sin embargo, no se ha constatado la presencia de minerales skarn

(piroxeno monoclinico, granate, epidota). El encajonante es el Grupo Honduras. Los minerales se componen de plata, plomo y zinc, siendo la pirita, galena y esfalerita (ver Cuadro II-4). Las máximas leyes verificadas con los análisis químicos fueron plata: 148ppm; plomo: 7.79% y zinc: 8.65%.

La ocurrencia Las Jaguas, de acuerdo a la información existente, se clasifica como yacimiento de plata/plomo/zinc de contacto metasomático tipo skarn; sin embargo, de acuerdo a lo observado en los afloramientos, se trata de un yacimiento vetiforme (vetas de cuarzo y arcilla) originado en rocas volcánicas (rocas hipabisales) ácidas y alcalinas. Los minerales se constituyen de pirita, goethita, fosferrita, y trazas de calcopirita. Las máximas leyes verificadas con los análisis químicos fueron plata 6.88ppm, cobre 456ppm, plomo 4,530ppm y zinc 3,460ppm (ver Cuadro II-4).

La ocurrencia El Bosque es un yacimiento vetiforme originado en los estratos del Grupo Yojoa, que no figura en la información existente. Mediante observación óptica se verifica la presencia de limonita y hematita. Las máximas leyes verificadas con los análisis químicos fueron oro 75ppb, plata 5.8ppm, cobre 2,490ppm, plomo 162ppm y zinc 3.51% (ver Cuadro II-4).

2-9-4 Resultados de Prospección Geoquímica

【Rocas】 (Figuras II-53, 54)

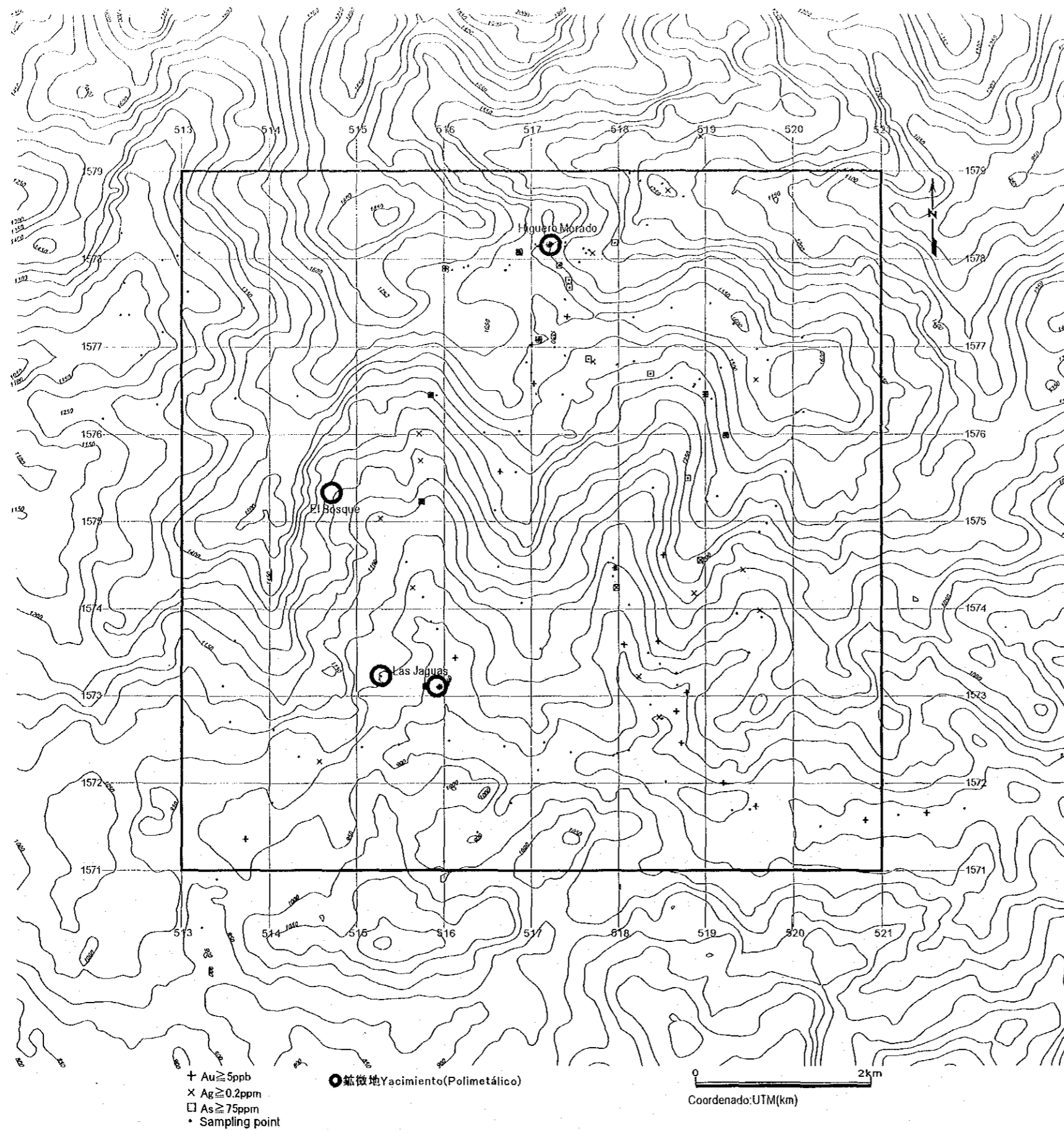
En la Figura II-53 se muestra las distribuciones de anomalías. En la figura aparece el agrupamiento de las anomalías geoquímicas. En el Cuadro II-5 se muestra las condiciones en que aparecen las anomalías en estas zonas anómalas, asimismo, las condiciones en que aparecen las anomalías sobre las ocurrencias que se registran en la información existente. Además, en el cuadro se muestra los valores máximos de los parámetros de análisis (Figura II-54) de los principales elementos (los detalles se citan más adelante) en las zonas anómalas.

【Alveos】 (Figuras II-55, 56)

En la Figura II-55 se muestra las distribuciones de anomalías. En la zona de anomalías geoquímicas de rocas aparecen también las anomalías geoquímicas de álveos. En el Cuadro II-5 se muestra las condiciones en que aparecen las anomalías geoquímicas de álveos sobre la zona de anomalías geoquímicas de rocas, y se muestra los valores máximos de los parámetros de análisis (Figura II-56) de los principales elementos (los detalles se citan más adelante) en las zonas anómalas.

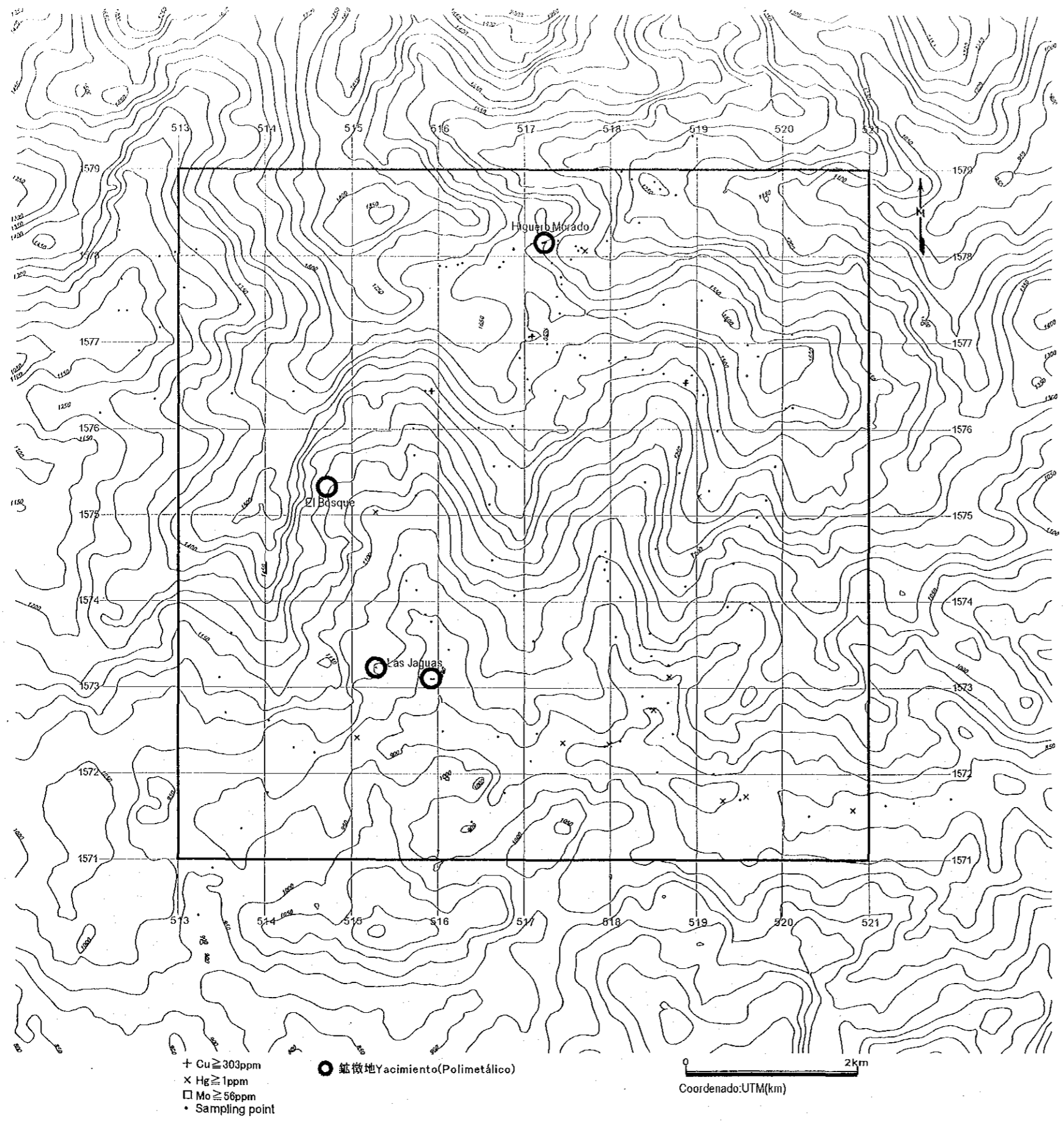
2-10 Compilación de Resultados de Prospección Geoquímica

【Análisis de Principales Elementos: Rocas】



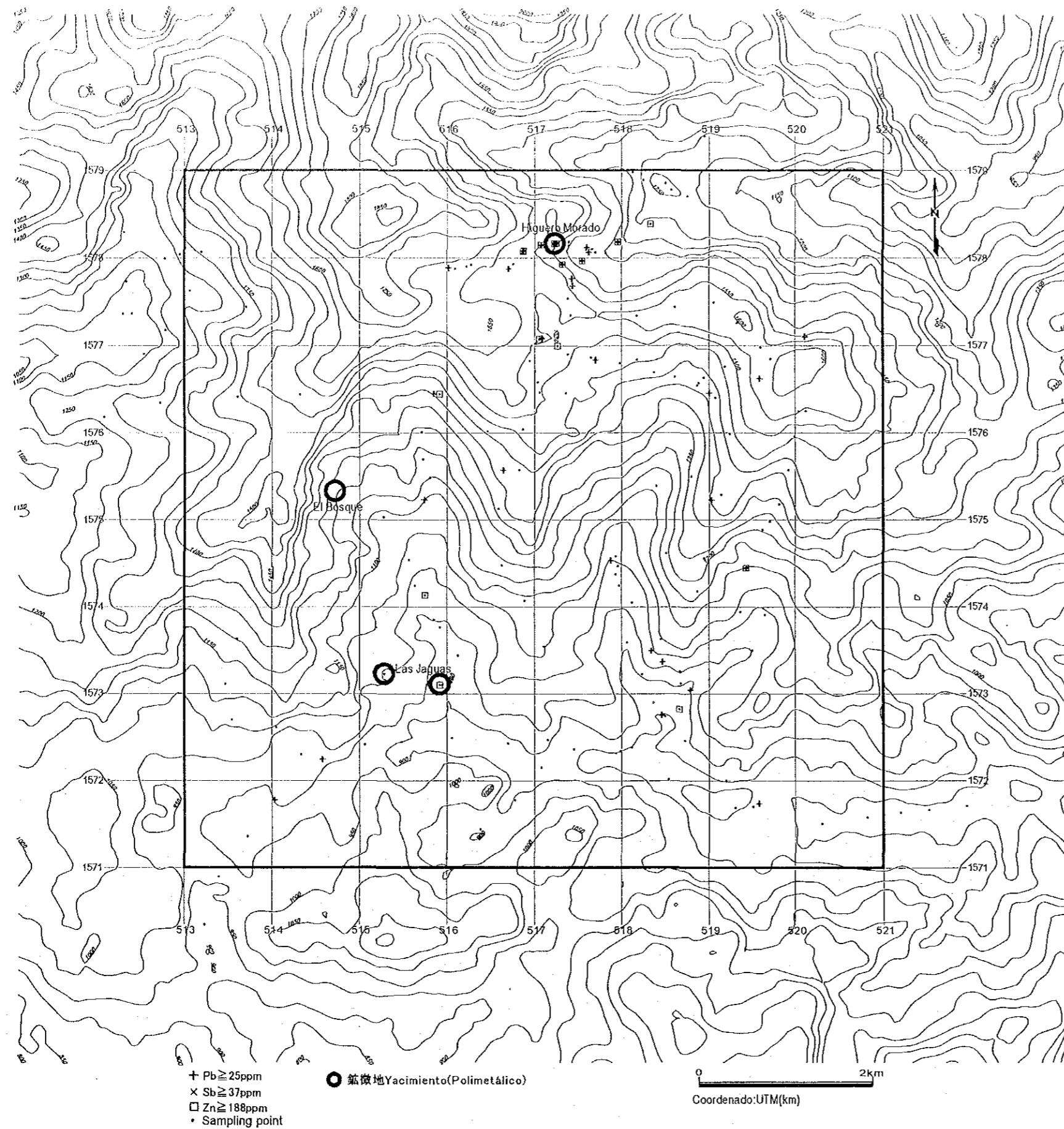
第 II-53-1 图 Higuero Morado 地区岩石地化探异常值分布图 (Au, Ag, As)

Figura II-53-1 Distribución de Anomalías Geoquímicas en Rocas del Sector Higuero Morado (Au, Ag, As)



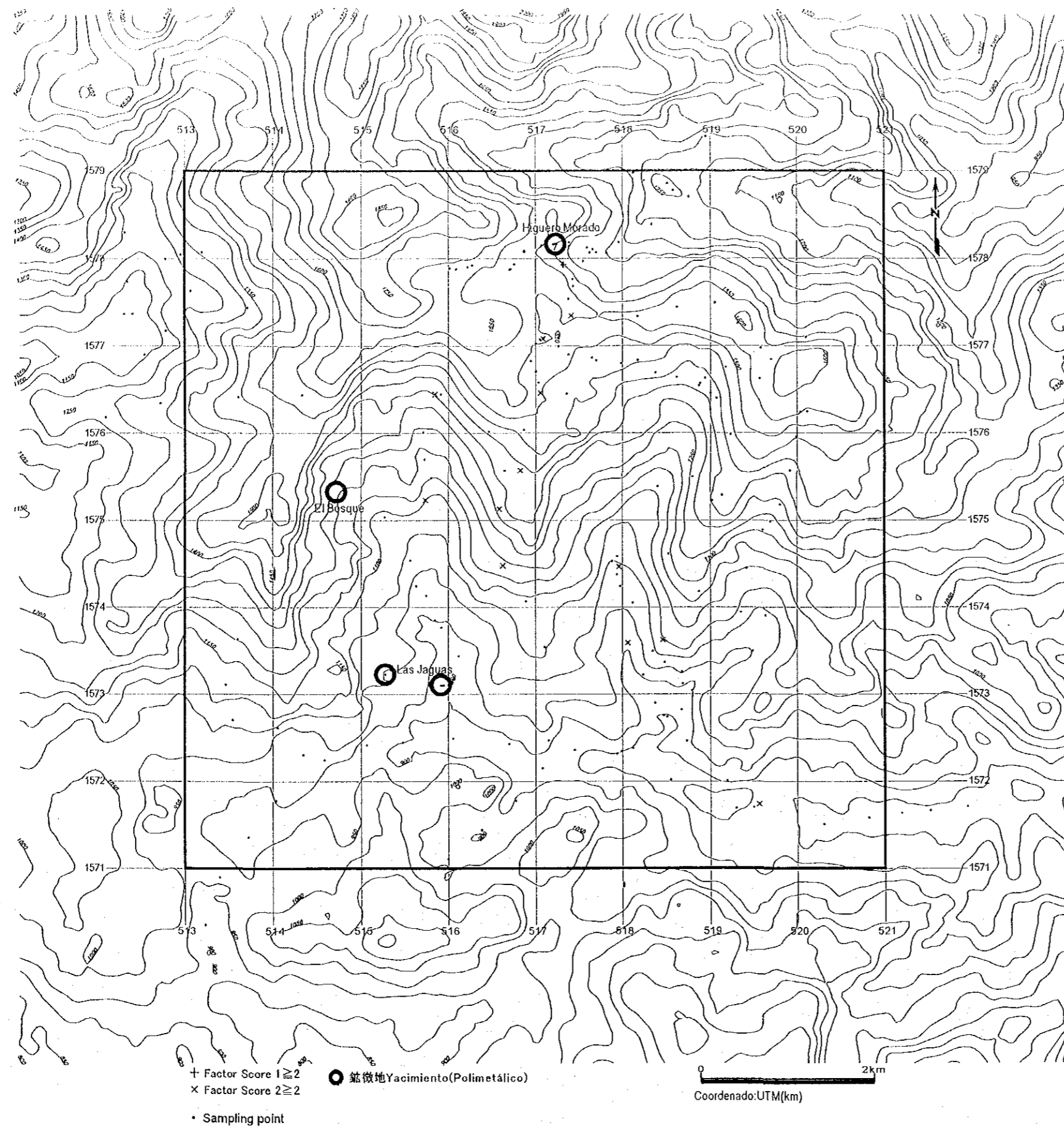
第II-53-2图 Higuero Morado地区岩石地化探异常值分布图(Cu, Hg, Mo)

Figura II-53-2 Distribución de Anomalías Geoquímicas en Rocas del Sector Higuero Morado(Cu, Hg, Mo)



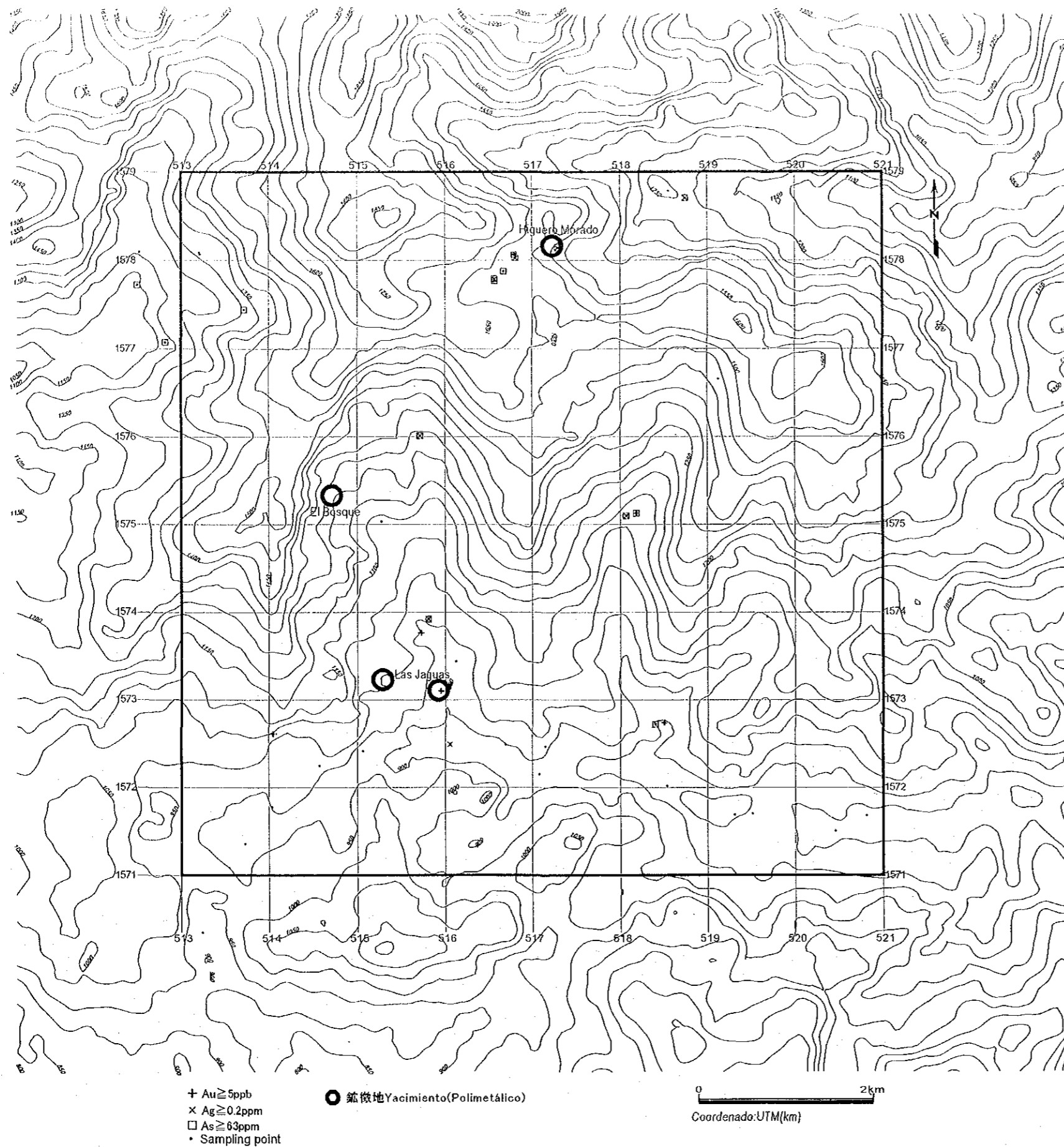
第 II-53-3 図 Higuero Morado 地区岩石地化探異常値分布図 (Pb, Sb, Zn)

Figura II-53-3 Distribución de Anomalías Geoquímicas en Rocas del Sector Higuero Morado (Pb, Sb, Zn)



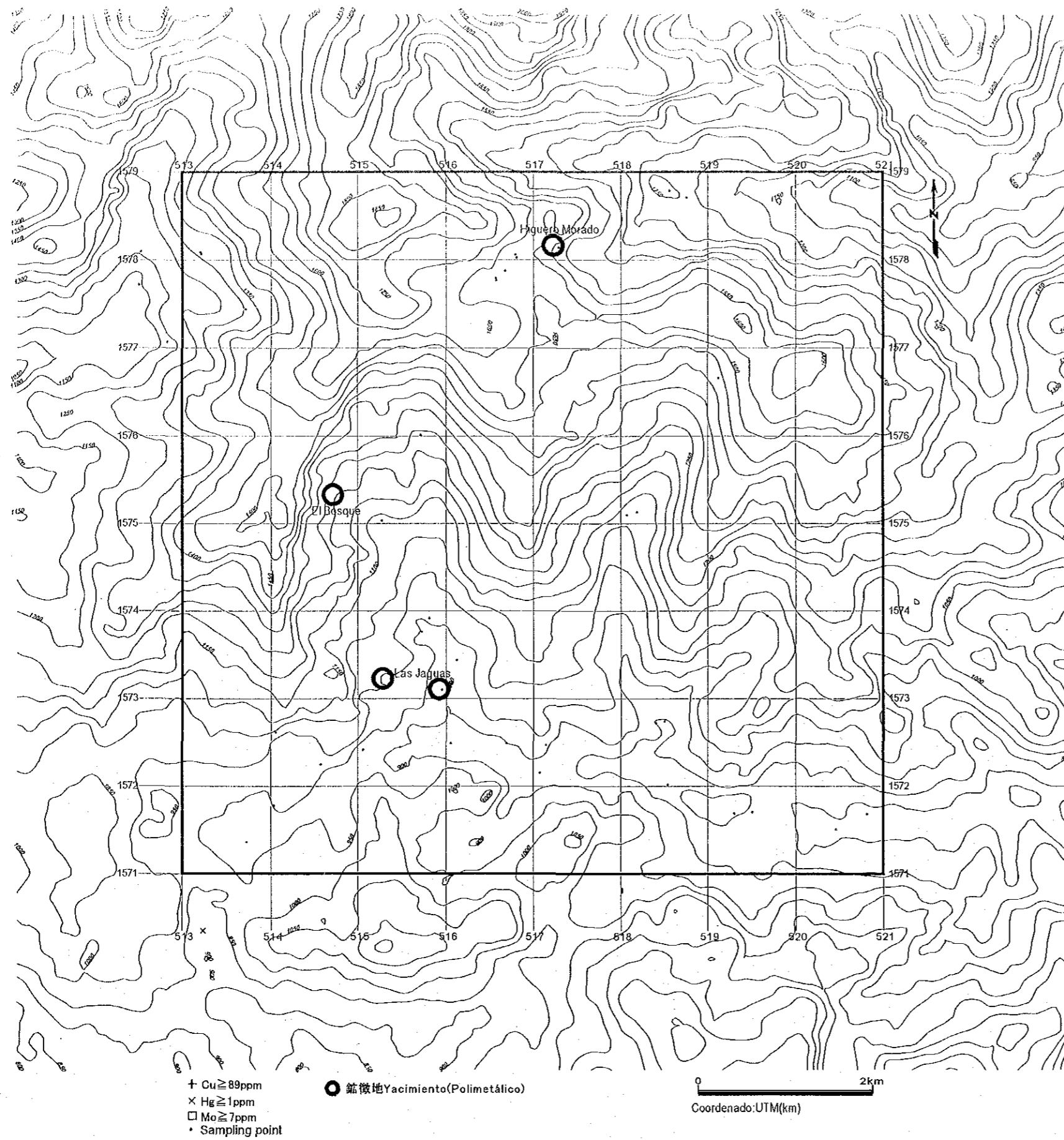
第 II-54 图 Higuero Morado地区岩石地化探因子得点分布图

Figura II-54 Distribución del Factores de Puntuaciones de Rocas del Sector Higuero Morado



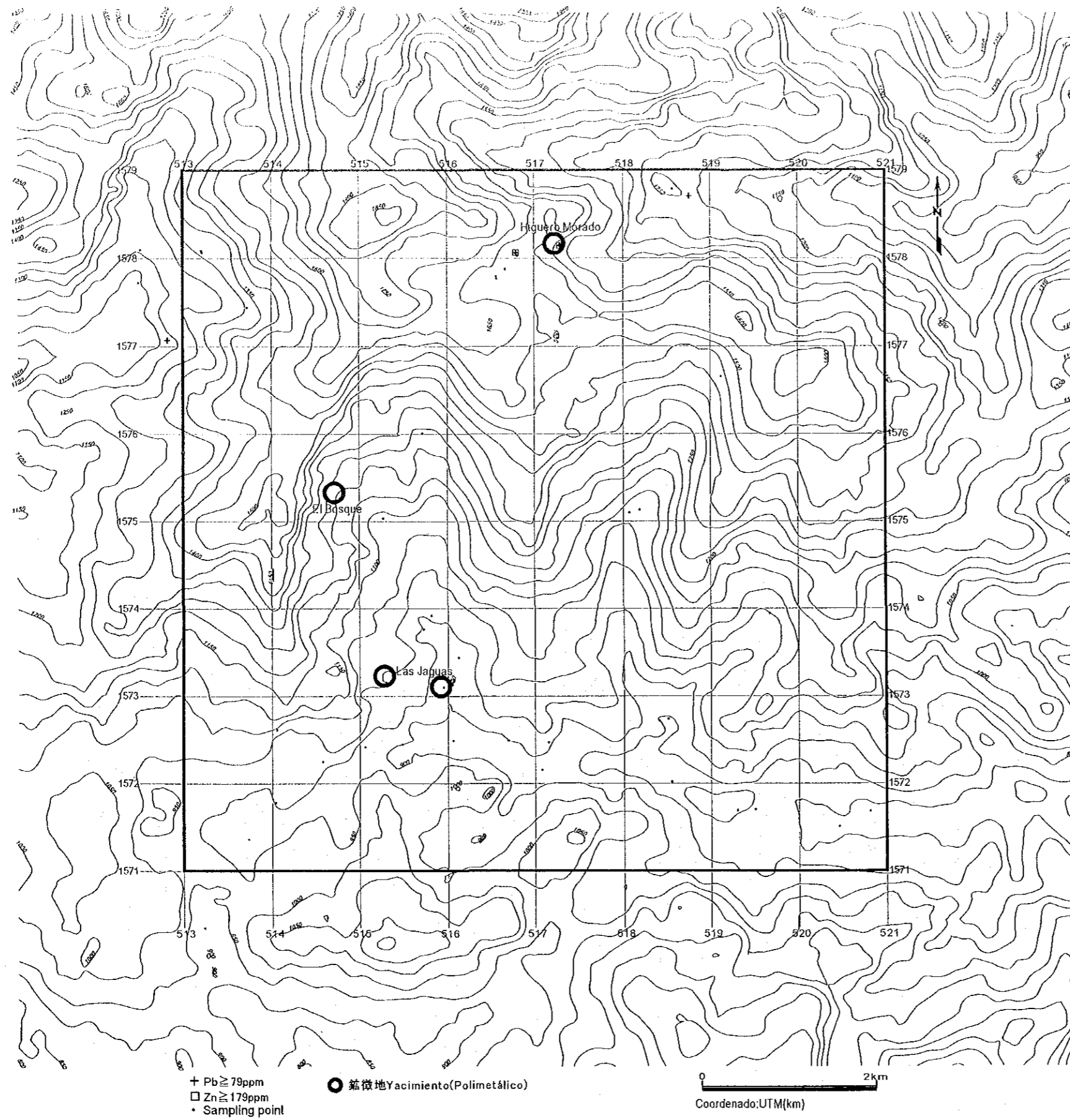
第II-55-1図 Higuero Morado地区川砂地化探異常値分布図(Au, Ag, As)

Figura II-55-1 Distribución de Anomalías Geoquímicas en Alveos del Sector Higuero Morado(Au, Ag, As)



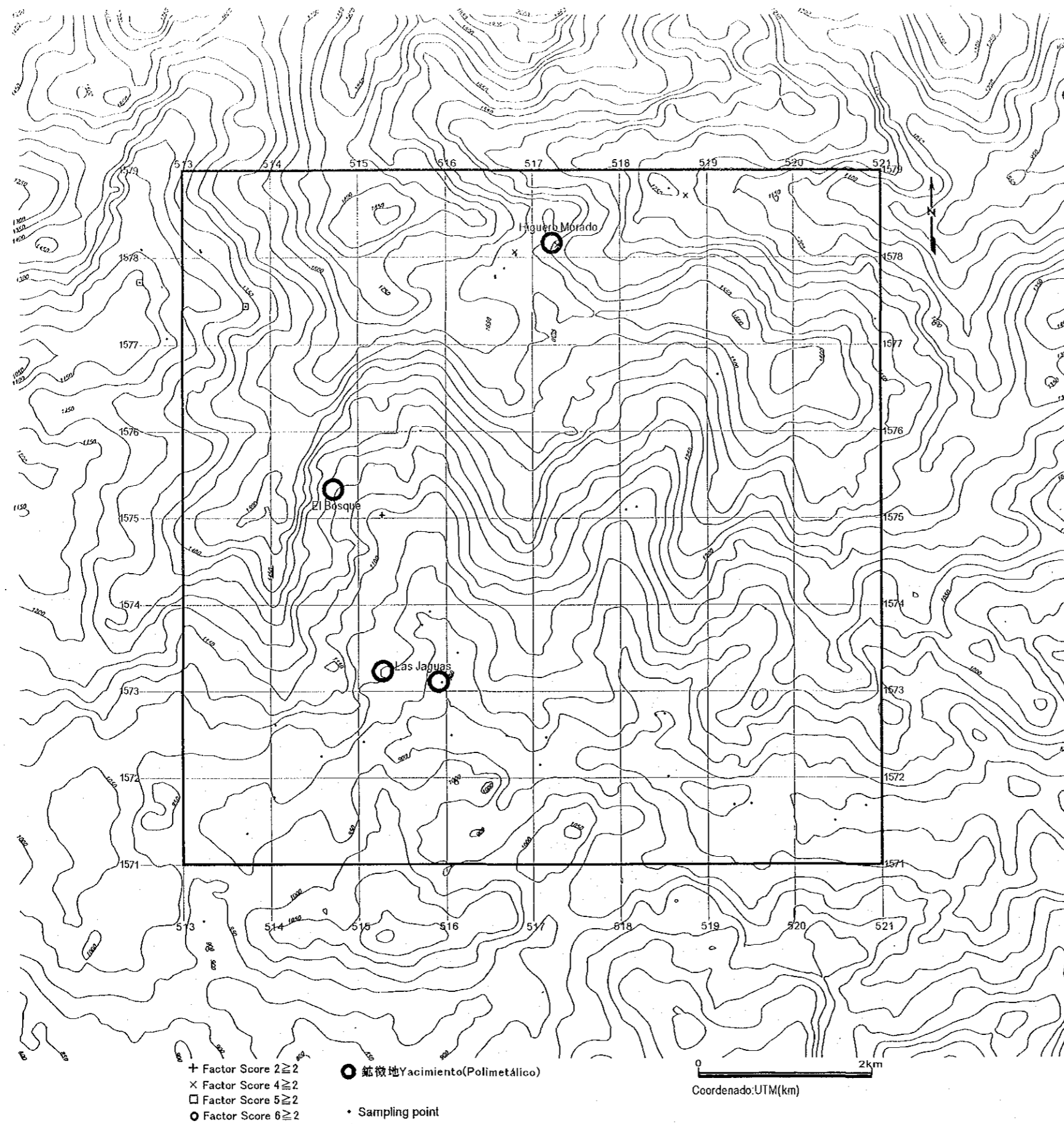
第II-55-2図 Higuero Morado地区川砂地化探異常値分布図(Cu, Hg, Mo)

Figura II-55-2 Distribución de Anomalías Geoquímicas en Alveos del Sector Higuero Morado(Cu, Hg, Mo)



第II-55-3图 Higuero Morado地区川砂地化探异常值分布图(Pb, Zn)

Figura II-55-3 Distribución de Anomalías Geoquímicas en Alveos del Sector Higuero Morado(Pb, Zn)



第II-56图 Higuero Morado地区川砂地化探因子得点分布图

Figura II-56 Distribución del Factores de Puntuaciones de Alveos del Sector Higuero Morado

En el Cuadro II-7 se muestra los resultados de los análisis (matricial de factores) de los principales elementos para las muestras de rocas. El análisis matricial consistió en hallar la correlación existente entre los elementos químicos, seleccionando como elemento patrón (elemento principal) a aquel cuyo valor de Eigen resultara ≥ 1 , e invirtiendo la matriz aplicando el factor de inversión matricial de Varimax. En los cálculos se consideraron los valores obtenidos durante el Fase I.

De acuerdo al análisis, no se observan pares de elementos químicos que muestren alta (evidente) correlación positiva ó negativa, debido a que los valores absolutos del factor de carga que superan 0.7, se da solamente en Zn para el elemento principal 1 y solamente en Pb para el elemento principal 2. Definiendo un factor de carga 0.5 como valor que representa bajo nivel de correlación, se verifican bajas correlaciones positivas en Ag, Pb, Sb y Zn para el elemento principal 1; y, bajas correlaciones negativas en Au, Ag, As, Cu y Mo para el elemento principal 2. Las Figuras II-12, 18, 24, 30, 36, 42, 48 y 54 muestran las distribuciones de los factores de carga en cada sector. En las citadas figuras, los valores negativos se procesaron integrándolos con puntuación de factores menores a +0.5. El zinc presenta valores negativos del factor de carga para el elemento principal 2; sin embargo no será problema, debido a que los valores absolutos no superan 0.03, es posible despreciar la capacidad de influencia sobre el Zn del elemento principal 2. En cuanto a la asociabilidad (communality), debido a que solamente 2 elementos, Ag y Zn, superan el valor de 0.6 para los 2 elementos principales seleccionados, no es posible explicar el comportamiento de los elementos químicos constituyentes de las rocas en la zona del estudio.

【Análisis de Principales Elementos: Alveos】

En el Cuadro II-8 se muestra los resultados de los análisis (matriz de factores) de los principales elementos para las muestras de álveos. La interpretación se realizó del mismo modo que para el caso de las rocas.

De acuerdo a este análisis, Al, Fe, Sc, Ti y V mostraron alta incidencia positiva (mayor a 0.7) con respecto al elemento principal 1. Por otro lado, Co, Cu, Ni y P mostraron alta incidencia positiva con respecto al elemento principal 2. En cuanto al elemento principal 3, K y Sr resultaron con alta incidencia positiva. Asimismo, Cd y Pb mostraron alta incidencia positiva con respecto al elemento principal 4. Por tanto, entre estos elementos se infiere que existe alta correlación.

Por otro lado, con respecto a los elementos principales, en el caso del elemento principal 5 solamente S, elemento principal 6 solamente el Au, elemento principal 7 solamente La, elemento principal 8 solamente Bi son los que presentan altas incidencias. Debido a ello, entre estos elementos no habría correlación evidente entre sí.

Como elementos principales relacionados al Au, la Ag y los metales básicos se pueden

第 II-7 表 主成分分析結果(岩石)
 Cuadro II-7 Resultados de Análisis de Principales Componentes
 (Muestras de Rocas)

	Factor Loadings		Communality
	PC ^{*1} 1	PC ^{*1} 2	
logAu	0.15671	(0.69205)	0.50349
logAg	(0.61666)	(0.51853)	0.64915
logAs	0.39591	(0.61249)	0.53189
logCu	0.19719	(0.61694)	0.41949
logHg	0.39135	0.21847	0.20088
logMo	0.03357	[0.74916]	0.56237
logPb	(0.66068)	0.30458	0.52927
logSb	(0.67737)	0.14263	0.47917
logZn	[0.80912]	-0.03270	0.65574
Eigenvalue	3.44076	1.09070	

*1: Principal Component

[]: factor loading ≥ 0.7 or factor loading ≤ -0.7

(): $0.7 >$ factor loading ≥ 0.5 or $-0.7 <$ factor loading ≤ -0.5

第II-8表 主成分分析結果(川砂)
Cuadro II-8 Resultados de Análisis de Principales Componentes (Muestras de Alveos)

	Factor Loading								Communality
	PC*1 1	PC*1 2	PC*1 3	PC*1 4	PC*1 5	PC*1 6	PC*1 7	PC*1 8	
logAu	-0.09483	0.12046	-0.03828	0.14197	0.09430	[0.79090]	0.02158	0.13872	0.69924
logAg	0.02066	0.10031	-0.06203	(0.67328)	0.17404	0.47844	0.00147	0.08761	0.73452
logAl	[0.75209]	0.30909	0.27428	0.02110	0.02537	-0.05272	0.21465	0.05050	0.78890
logAs	-0.10620	0.31418	-0.03719	0.31852	(0.55477)	0.42640	0.07525	-0.08815	0.71584
logBa	(0.53258)	-0.10699	(0.51443)	-0.08486	0.12001	-0.28330	0.23660	-0.03772	0.71899
logBe	0.25096	0.33017	0.11516	-0.04123	0.18923	-0.05681	(0.61288)	-0.21556	0.64807
logBi	0.04308	0.09901	0.02865	0.02648	0.14936	0.11693	0.02696	[0.81103]	0.70766
logCa	0.09236	0.47411	(0.59275)	0.09798	0.08253	-0.38408	-0.01729	0.21403	0.79470
logCd	0.14588	0.13563	-0.00083	[0.71816]	0.11280	-0.08465	-0.15578	0.43585	0.78955
logCo	0.46011	[0.75912]	-0.00317	0.10831	0.06214	0.16562	-0.00610	0.04370	0.83293
logCu	0.31213	[0.73661]	-0.02597	0.12078	0.21285	0.27405	0.10340	0.01742	0.78668
logFe	[0.74421]	(0.50999)	-0.03282	0.13898	0.18032	0.05741	-0.11241	-0.04761	0.88504
logGa	(0.60188)	0.05732	-0.24405	-0.11616	-0.08658	0.01942	0.11738	0.27364	0.53513
logHg	-0.01605	-0.07980	0.00208	-0.01004	0.49087	-0.20797	-0.03400	0.09336	0.30081
logK	-0.01060	-0.09553	[0.80461]	-0.07070	-0.06683	0.07094	0.15978	-0.13343	0.71446
logLa	-0.05961	-0.05004	0.05656	0.04439	-0.02505	-0.07209	[0.78417]	-0.08581	0.63933
logMg	0.32974	(0.67345)	0.42705	0.18219	-0.13442	-0.07088	-0.07980	0.10582	0.81849
logMn	(0.66776)	0.28801	0.14500	0.32770	0.06193	-0.08476	0.13805	-0.07601	0.69312
logMo	0.08414	0.12590	0.03041	0.31328	0.48320	-0.03713	-0.11418	0.35415	0.49532
logNa	0.35303	0.12031	(0.63684)	-0.05309	-0.22013	0.21211	-0.06930	0.00783	0.64581
logNi	-0.03042	[0.90235]	-0.07189	0.15918	-0.09187	0.04061	-0.04905	0.04891	0.86056
logP	0.24019	[0.75601]	0.15191	0.12231	0.23264	-0.00432	0.06646	0.07918	0.73211
logPb	-0.07115	0.20102	-0.09424	[0.80375]	0.22532	0.10323	0.16069	-0.17786	0.81924
logS	0.01453	0.23645	0.06238	0.12401	[0.70329]	0.30876	-0.03369	-0.04284	0.66831
logSb	0.06536	-0.00144	-0.21561	0.21796	(0.56937)	0.15384	0.11537	0.06741	0.46396
logSc	[0.79232]	0.34174	0.21816	0.06408	0.09754	-0.12325	0.07116	0.03822	0.82750
logSr	0.36433	0.19967	[0.72030]	-0.04228	0.06784	-0.29661	0.09463	0.23716	0.85101
logTi	[0.85303]	-0.17004	0.17226	-0.05799	-0.15687	0.02475	-0.20650	-0.00447	0.85749
logTl	-0.04067	-0.07763	0.05893	0.00204	-0.08018	0.18369	(0.63242)	0.29299	0.53713
logV	[0.87528]	0.23329	0.18908	0.08261	0.01997	-0.05011	-0.16197	0.01098	0.89237
logZn	0.48316	0.41354	0.02154	(0.60531)	0.18345	0.11671	-0.01627	-0.05687	0.82209
Eigenvalue	8.77208	4.43707	2.09194	1.77515	1.65545	1.24925	1.21829	1.07714	

*1: Principal Component

[]: factor loading ≥ 0.7 or factor loading ≤ -0.7 (): $0.7 >$ factor loading ≥ 0.5 or $-0.7 <$ factor loading ≤ -0.5

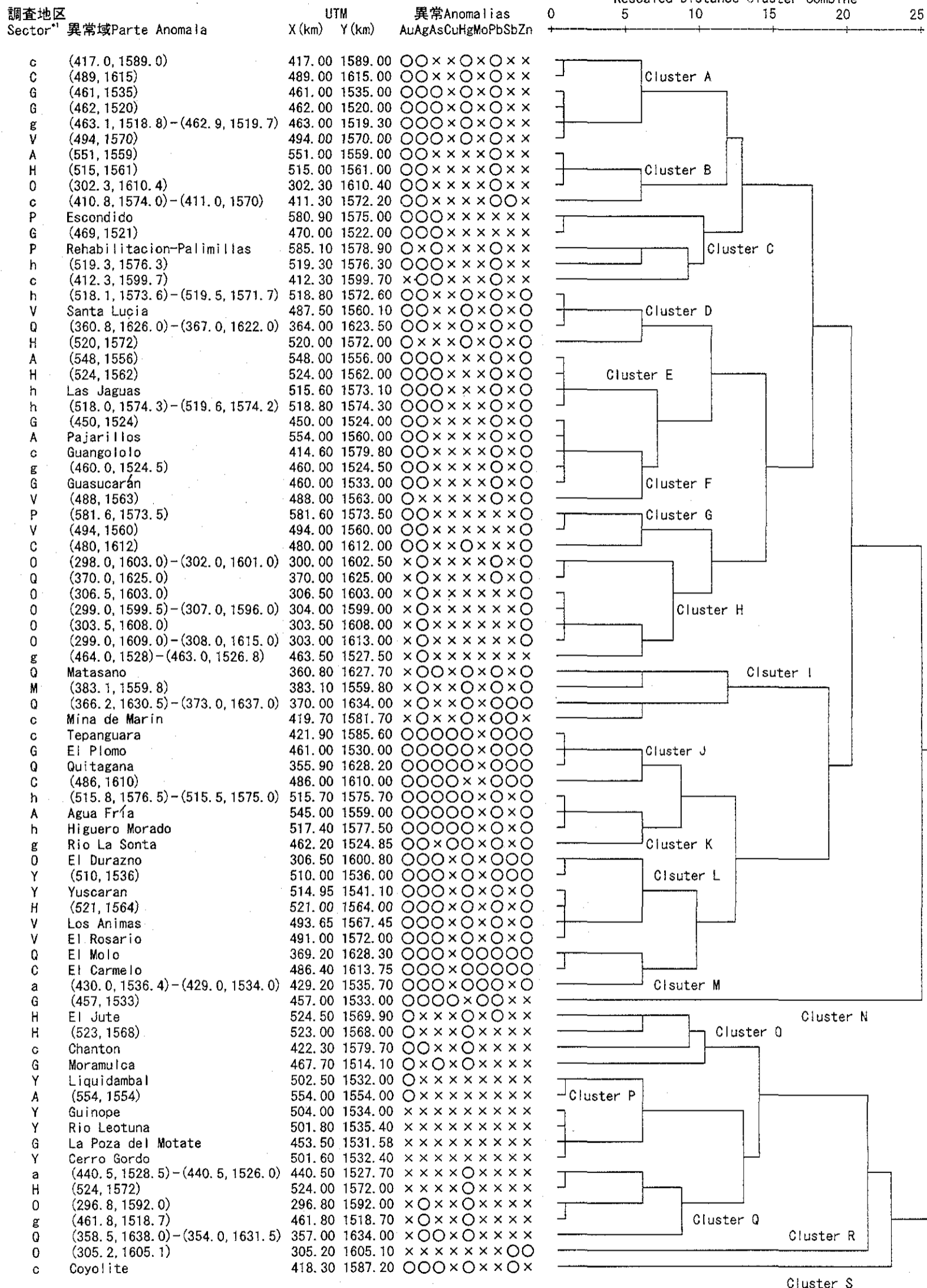
B, U and W have variance of 0.

citar al elemento principal 6 solamente para Au, elemento principal 2 para el Cu y Pb solamente con el elemento principal 4. De ello se puede inferir que éstos son dirigidos por factores independientes entre sí. La plata muestra valores de 0.67 con el elemento principal 4 y 0.48 con el elemento principal 6, siendo despreciables los valores con respecto a otros elementos principales. Razón por la cual se infiere que es dirigida por 2 factores (uno es Au y otro relacionado a Cd, Pb). El antimonio 1) muestra su más alto valor 0.57 con el elemento principal 5, seguido de 0.22 con los elementos principales 3 y 4, siendo dirigido débilmente por varios factores; además 2) la asociabilidad (communality) menores al 50% como 0.46 no explica ni la mitad de su comportamiento, infiriéndose que con los elementos principales seleccionados no es posible explicar su comportamiento. El zinc muestra la máxima incidencia de 0.61 con el elemento principal 4 y un valor no despreciable de 0.4 con los elementos principales 1 y 2, razón por la cual se infiere que está dirigida por varios factores.

En las Figuras II-14, 20, 26, 32, 38, 44, 50, 56 se muestran las distribuciones de los factores de carga entre Au, Ag y metales básicos con los elementos principales 2, 4, 5 y 6 que presentaron altas correlaciones. En estas figuras, los valores negativos se procesaron integrándolos con puntuación de factores menores a +0.5. El valor de incidencia del Sb con respecto al elemento principal 2 es 0.001, valor despreciable, que no causará problema.

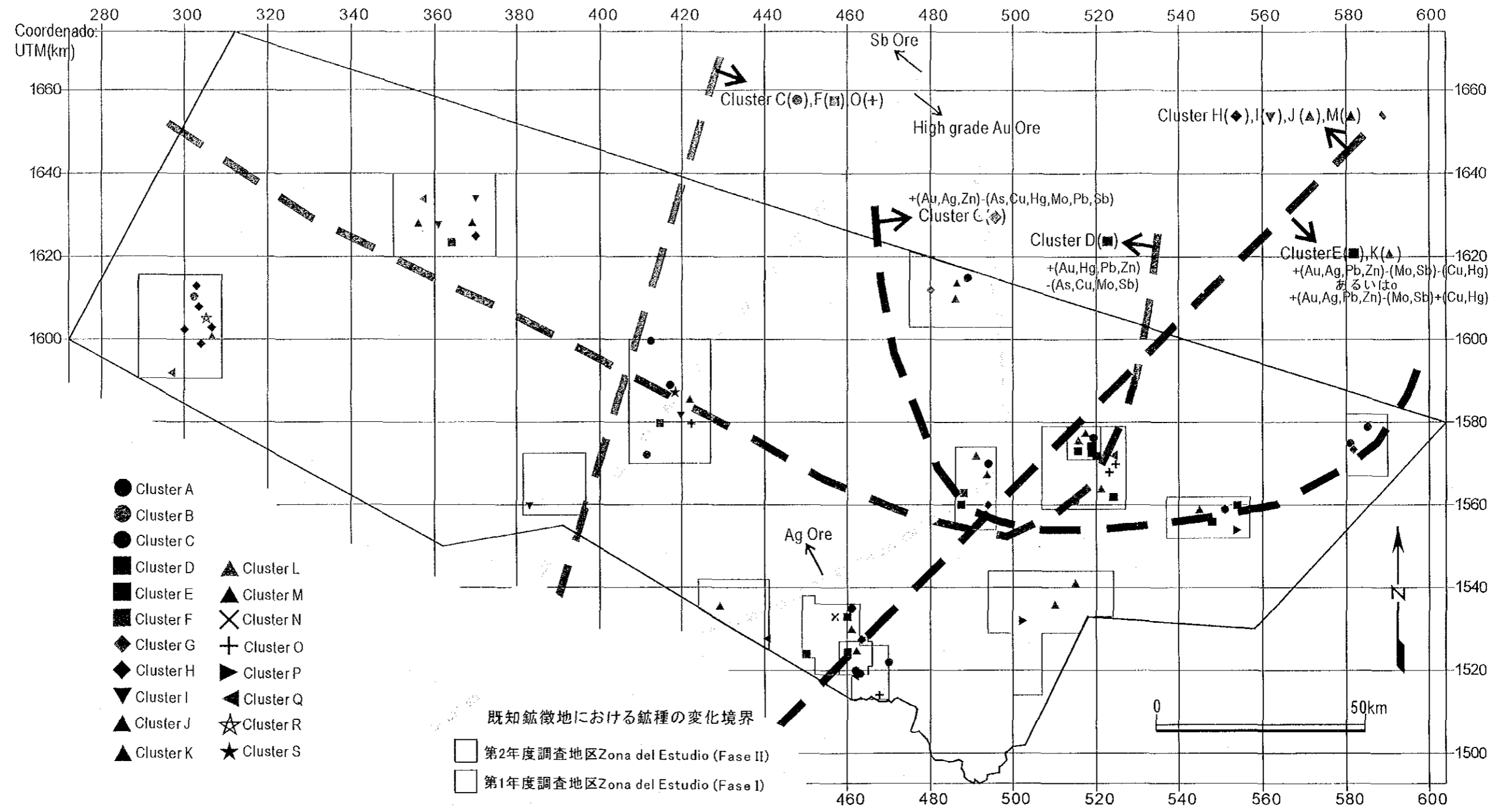
【Distribución de Anomalías Geoquímicas: Rocas】

En los ocho sectores descritos, se observan combinaciones similares de anomalías geoquímicas en rocas (Cuadro II-5). En ellas se realizaron análisis de vínculos entre las anomalías, agrupándolas de acuerdo a patrones determinados (incluyendo las ocurrencias que no muestran anomalías geoquímicas). En el análisis, se procedieron a asignar valores 1 y 0 para los registros "○" y "×" respectivamente de la columna "anomalías en rocas" del Cuadro II-5. A su vez se procedieron a estandarizar como 0, los valores promedios y 1, las dispersiones, para luego realizar el análisis mediante agrupamiento de estas variables. Los resultados de las vinculaciones entre las anomalías, se muestran en la Figura II-57 en forma de dendrograma. En este diagrama se interconectan sucesivamente de acuerdo al grado de similitud. El grado del vínculo es alto en función a una interconexión próxima (hacia la izquierda de la figura) y bajo en caso contrario (hacia la derecha de la figura). En la figura se han agrupado en 19 grupos, de la A a la S, las vinculaciones entre las anomalías geoquímicas. La situación de los 19 grupos se muestra en la Figura II-58. De estos 19 grupos se observan tendencias de distribución zonal en 11 grupos: C, D, E, F, G, H, I, J, K, M y O. Estas tendencias se muestran también en la Figura II-58. En la Figura II-59 se muestra las relaciones con la geología. Estas tendencias son posibles de clasificarlas en dos grandes grupos.



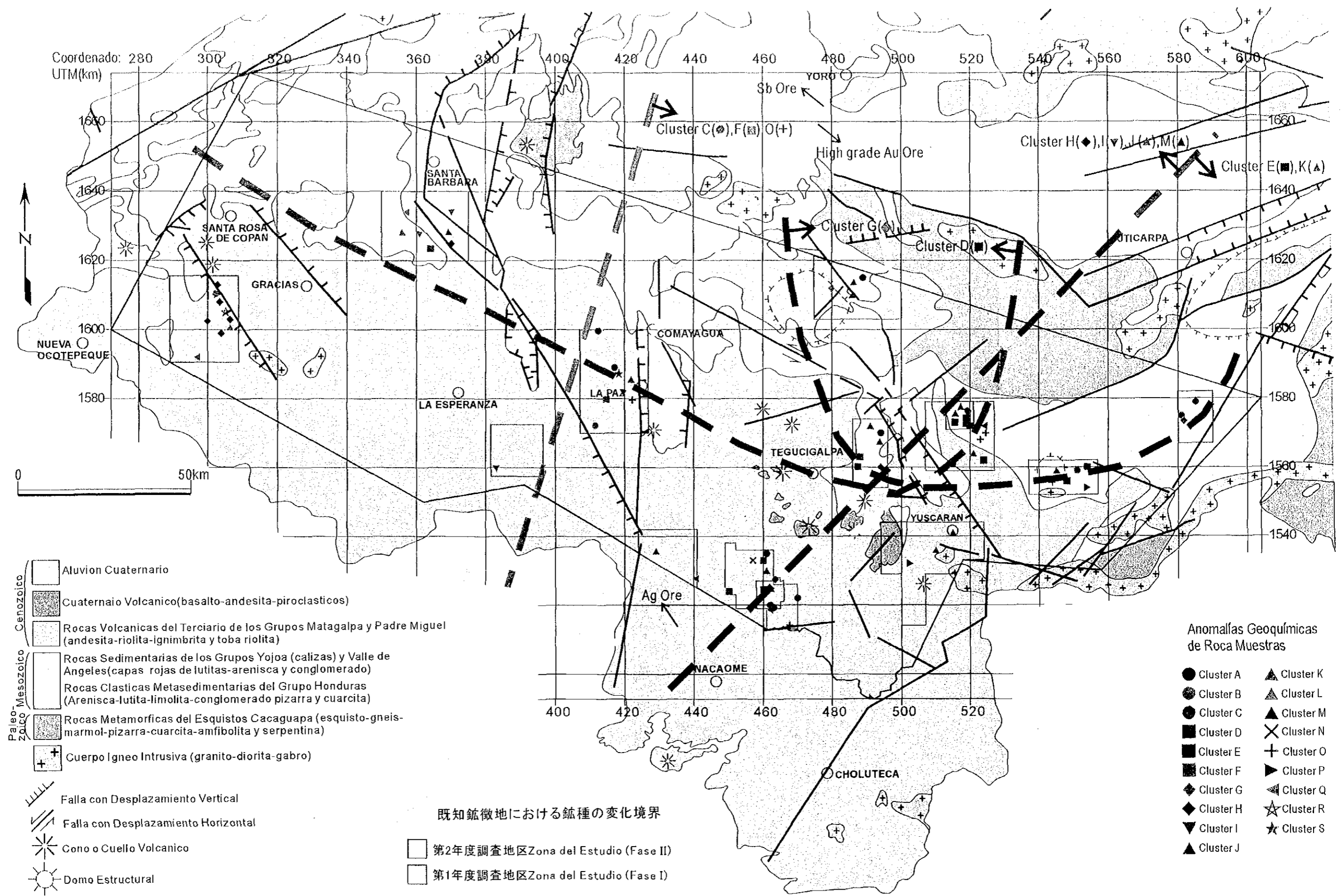
*1: V(Valle de Angeles), G(Guasucarán), Y(Yuscaran), A(Agua Fría), H(Higuero Morado), C(Cedros), P(Palimillas), O(Ocotepeque), Q(Quitagana), c(Comayagua), a(Aguanqueterique), M(Marcala), g(Guasucarán), h(Higuero Morado)

第II-57図 岩石地化探異常域の異常の出現状況に基づく近縁関係
Figura II-57 Relacionamiento de Anomalías Geoquímicas de Rocas



第II-58図 岩石の化学異常タイプの分布

Figura II-58 Distribución de Tipos de Anomalías Geoquímicas



第II-59図 総合解析図
Figura II-59 Mapa Integral de Análisis Geológico y Geoquímico